

Statički proračun stambene zgrade

Runjić, Jure

Undergraduate thesis / Završni rad

2024

Degree Grantor / Ustanova koja je dodijelila akademski / stručni stupanj:

University of Split, Faculty of Civil Engineering, Architecture and Geodesy / Sveučilište u Splitu, Fakultet građevinarstva, arhitekture i geodezije

Permanent link / Trajna poveznica: <https://um.nsk.hr/um:nbn:hr:123:847546>

Rights / Prava: [In copyright](#)/[Zaštićeno autorskim pravom.](#)

Download date / Datum preuzimanja: **2025-02-28**



Repository / Repozitorij:

[FCEAG Repository - Repository of the Faculty of Civil Engineering, Architecture and Geodesy, University of Split](#)



UNIVERSITY OF SPLIT



DIGITALNI AKADEMSKI ARHIVI I REPOZITORIJI

SVEUČILIŠTE U SPLITU
FAKULTET GRAĐEVINARSTVA, ARHITEKTURE I GEODEZIJE

ZAVRŠNI RAD

Jure Runjić

Split, 2024.

SVEUČILIŠTE U SPLITU
FAKULTET GRAĐEVINARSTVA, ARHITEKTURE I GEODEZIJE

Jure Runjić

Statički proračun stambene zgrade

Završni rad

Split, 2024.



SVEUČILIŠTE U SPLITU
FAKULTET GRAĐEVINARSTVA,
ARHITEKTURE I GEODEZIJE

UNIVERSITY OF SPLIT
FACULTY OF CIVIL ENGINEERING,
ARCHITECTURE AND GEODESY

STUDIJ: **PREDDIPLOMSKI SVEUČILIŠNI STUDIJ
GRAĐEVINARSTVA**

KANDIDAT: **Jure Runjić**

BROJ STUDENTSKE ISKAZNICE: **0083231578**

KATEDRA: **Katedra za teoriju konstrukcija**

PREDMET: **Građevna statika**

ZADATAK ZA ZAVRŠNI RAD

Tema: Statički proračun stambene zgrade

Opis zadatka: Na temelju zadane tlocrtne podloge, potrebno je izraditi 3-D proračunski model građevine u programu „Scia Engineer“. Na temelju dobivenih rezultata proračunavaju se određeni nosivi elementi zgrade.

Izrađeni projekt mora sadržavati:

- tehnički opis
- proračun
- građevne nacрте

U Splitu, 2024.

Mentor:

Prof.dr.sc. Boris Trogrlić, dipl.ing.građ

Statički proračun stambene zgrade

Sažetak:

U radu je prikazan statički proračun stambene zgrade. Zgrada se sastoji od prizemlja, dvije etaže i ravnoga krova. Nosiva konstrukcija građevine će biti izvedena od armirano betonskih stupova, zidova, greda i ploča.

Projekt sadrži: tehnički opis, proračun nosivih konstrukcijskih elemenata te karakteristične građevinske nacрте.

Ključne riječi:

Stambena zgrada, Statički proračun

Static calculation of apartment building

Summary:

The static design of apartment building is presented in this work. The building consists of two stories, ground floor and flat roof. Structure is made of reinforced concrete consisting of columns, walls, beams and plates.

The work includes technical description of the structure, calculation of the main structural elements and characteristic structural plans.

Keywords:

Apartment building, Static calculation

SADRŽAJ

1. TEHNIČKI OPIS.....	7
1.1. Opis i konstrukcijski sastav građevine.....	7
1.2. Geotehnički izvještaj.....	7
2. 3-D PRORAČUNSKI MODEL GRAĐEVINE	8
3. ANALIZA OPTEREĆENJA.....	10
3.1. Podaci o osnovnim djelovanjima.....	10
3.2. Stalno opterećenje (G_0).....	10
3.2.1. Vlastita težina elemenata konstrukcije.....	10
3.2.2. Krovna ploča	11
3.2.3. Međukatne ploče.....	12
3.2.4. Balkon	13
3.2.5. Podest	14
3.2.6. Stubišni krak.....	15
3.3. Promjenjivo opterećenje (Q_i)	16
4. PRIKAZ OSNOVNIH DJELOVANJA	17
4.1. Krovna ploča	17
4.2. Međukatna ploča.....	18
5. KOMBINACIJE DJELOVANJA.....	19
6. PRORAČUN PLOČA.....	20
6.1. Međukatna ploča.....	20
6.1.1. Prikaz modela i rezultata međukatne ploče.....	21
6.1.2. Kontrola progiba i pukotina međukatne ploče	25
6.1.3. Kontrola progiba međukatne ploče.....	25
6.1.4. Kontrola pukotina	26
6.2. Proračun krovne ploče	29
6.2.1. Prikaz modela i rezultata krovne ploče	30
6.2.2. Kontrola progiba.....	34
6.2.3. Kontrola pukotina	35
7. PRORAČUN AB GREDA.....	38
7.1. Međukatna greda	38
7.1.1. Prikaz rezultata proračuna.....	38
7.1.2. Dimenzioniranje na moment savijanja.....	39
7.1.3. Dimenzioniranje na poprečnu silu	40

7.1.4. Kontrola progiba.....	42
7.1.5. Kontrola pukotina	43
8. PRORAČUN ZIDOVA.....	45
8.1. Opći uvjeti.....	45
8.2. Prikaz modela i dijagrama.....	46
9. PRORAČUN STUPOVA.....	49
10. PRORAČUN TEMELJA	51
10.1. Proračun trakastih temelja.....	53
10.1.1. Model trakastih temelja.....	53
10.1.2. Proračun širine temeljne stope	54
10.1.3. Slijeganje građevine.....	55
11. GRAFIČKI PRILOZI	56
12. LITERATURA	57

1. TEHNIČKI OPIS

1.1. Opis i konstrukcijski sastav građevine

Predmet ovog završnog rada je proračun nosive konstrukcije građevine stambene namjene. Građevina se sastoji od ukupno tri etaže, nepravilnog je tlocrtnog oblika –dimenzija 17,3 x 12,1 m.

Ukupna visina građevine iznosi 9,5 m, mjereno od podne ploče prizemlja.

Glavni nosivi konstrukcijski sustav sastoji se od armirano-betonskih (AB) zidova, greda i stupova te međukatnih konstrukcija koje su izrađene od armiranog betona, lijevane na licu mjesta debljine 15cm. Ravna krovna ploča je debljine 15 cm i izvedena je od armiranog betona.

Vertikalna nosiva konstrukcija građevine su zidovi debljine 20 cm,

Temeljenje je predviđeno na trakastim temeljima od armiranog betona ispod nosivih zidova i stupova, širine 60 cm i visine 50 cm.

U proračunu su dane osnovne dimenzije armature za pojedine konstruktivne elemente.

Elementi koji se ne proračunavaju armiraju se konstruktivno.

Za sve betonske radove predviđen je beton C 25/30, te armatura B 500B. Skidanje podupirača za ploče može se izvršiti nakon postignute minimalne čvrstoće od 80%.

Za temelje je upotrebljena klasa betona C 25/30.

Svi računalni proračuni su izvršeni u programu „Scia Engineer“. Svi ostali podaci i detalji vezani za objekt dani su kroz projektna rješenja.

1.2. Geotehnički izvještaj

Za predmetnu građevinu su izvršeni geotehnički istražni radovi.

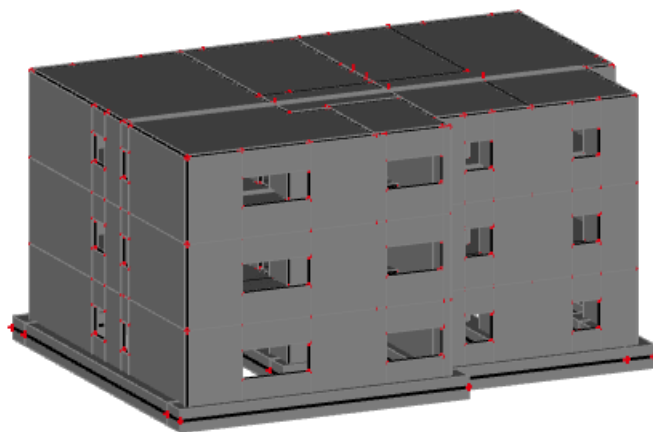
Matična stijena nalazi se na oko 85 cm od površine terena, temeljenje građevine će se izvesti na njoj. Pri završetku iskopa temeljnu plohu potrebno je ručno očistiti od ostataka razlomljenog materijala.

Nakon obavljenog čišćenja temeljne plohe potrebno je neravnine i udubine popuniti i izravnati podložnim betonom C 16/20 do projektirane kote temeljenja.

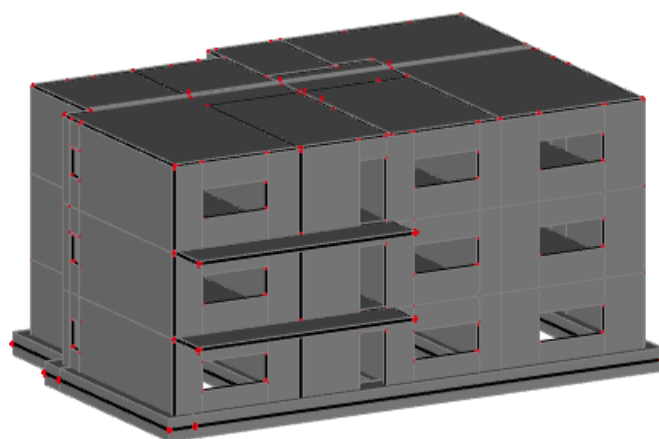
Ukoliko se naiđe na kavernu veće dubine i manje širine, a nije moguće potpuno uklanjanje materijala, sanaciju izvesti tako da se materijal ukloni do dubine 50 cm ispod kote temeljenja, a nastali prostor do projektirane kote zapuni podbetonom.

Na osnovu rezultata geotehničkih istražnih radova, dopuštena centrična naprezanja tla na detaljno očišćenim naslagama matične stijene uzeta su za osnovna opterećenja 320 kPa.

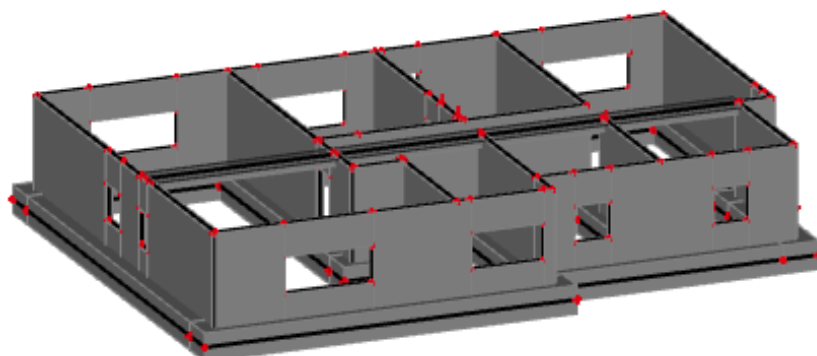
2. 3-D PRORAČUNSKI MODEL GRAĐEVINE



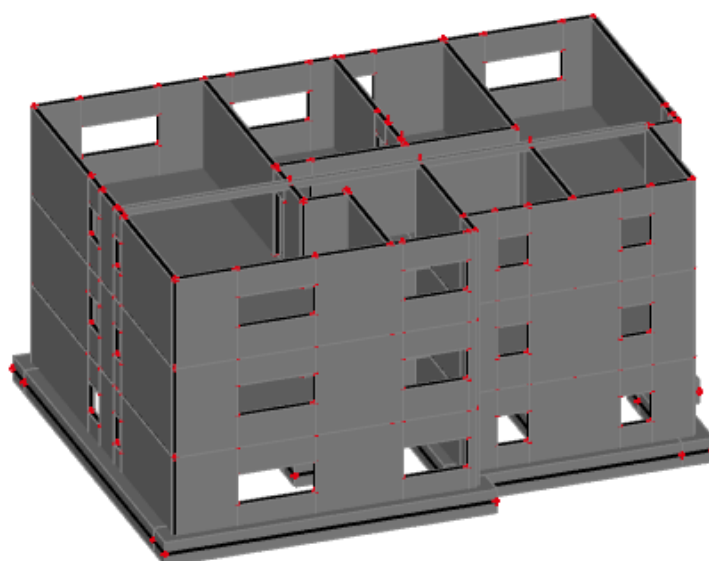
Slika 2.1 Proračunski model objekta – pogled 1



Slika 2.2 Proračunski model objekta – pogled 2



Slika 2.3 Proračunski model objekta – pogled 3



Slika 2.4 Proračunski model objekta – pogled 4

3. ANALIZA OPTEREĆENJA

3.1. Podaci o osnovnim djelovanjima

Osnovna opterećenja, na čiji utjecaj se dokazuje mehanička otpornost i stabilnost predmetne građevine, podijeljena su:

Oznaka osnovnog djelovanja	Opis djelovanja
G0	Stalno djelovanje – vlastita težina elemenata nosive konstrukcije
G1	Dodatno stalno djelovanje – ostalo stalno djelovanje; pokrov, obloga, stalna oprema itd.
Qi	Promjenjivo – uporabno djelovanje: uporabno opterećenje, pokretna oprema.

Tablica 3.1 Podaci o osnovnim djelovanjima

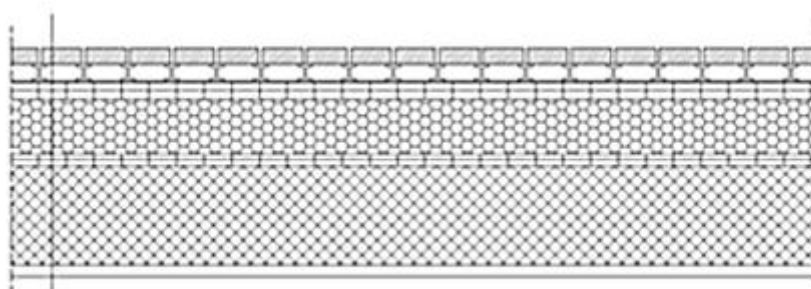
3.2. Stalno opterećenje (G₀)

3.2.1. Vlastita težina elemenata konstrukcije

Stalno opterećenje uključeno je u proračun prema sljedećem:

- Specifična težina armiranog betona iznosi $g = 25.0 \text{ kN/m}^3$.
- Stalno opterećenje od vlastite težine elemenata armirano betonske konstrukcije sadržano je u proračunskom modelu, sukladno dimenzijama poprečnih presjeka i zadanoj specifičnoj težini.

3.2.2. Krovna ploča



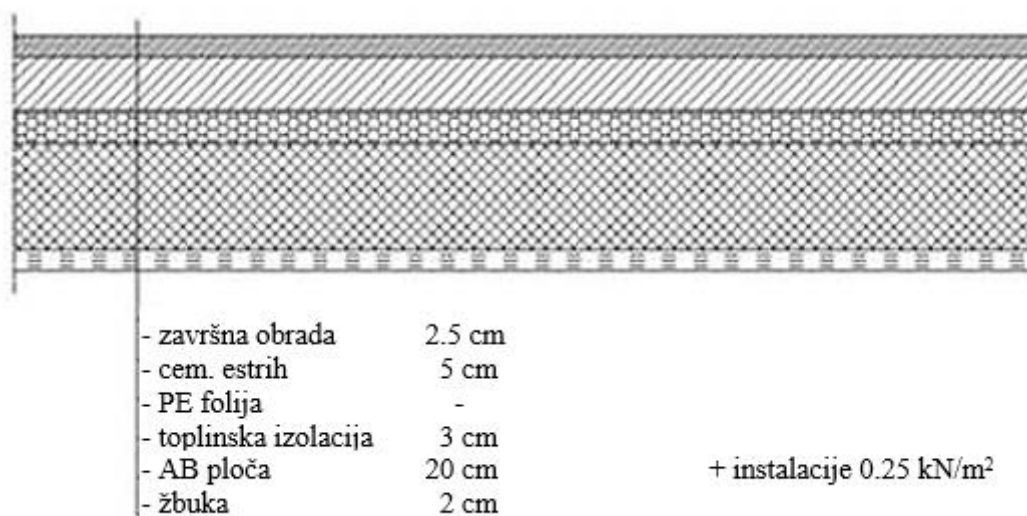
- betonska ploča	3 cm
- podmetači	3 cm
- PE folija	-
- hidroizolacija	1.5 cm
- toplinska izolacija	10 cm
- parna brana	1 cm
- AB ploča	20 cm
- žbuka	2 cm

Tablica 3.2.1 Slojevi ravnog krova

Sloj:	Debljina sloja (m):	γ (kN/m ³)	$d \times \gamma$ (kN/m ²)
Betonska ploča	0,03	25,00	0,75
Podmetači	0,03	-	-
PE folija	-	-	-
Hidroizolacija	0,015	10	0,15
Toplinska izolacija	0,10	1,50	0,30
Parna brana	0,01	0,15	0,0015
AB ploča	0,15	Uključena u proračunskom modelu	
Žbuka	0,02	19,00	0,38

Ukupno dodatno stalno opterećenje: $\Delta g = 1,52$ (kN/m²)

3.2.3. Međukatne ploče

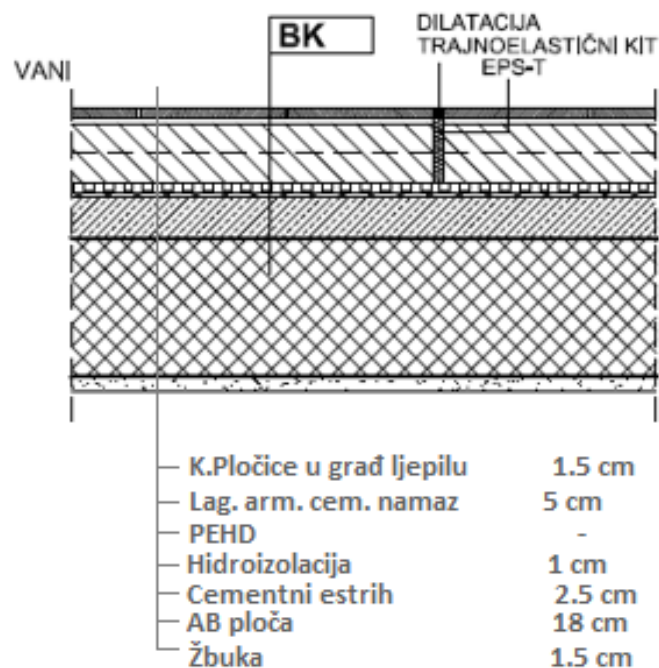


Tablica 3.2.2 Slojevi poda međukatnih konstrukcija

Sloj:	Debljina sloja (m):	γ (kN/m ³)	$d \times \gamma$ (kN/m ²)
Pregradni zidovi			0,50
Završna obrada	0,025	9,60	0,24
Cementni estrih	0,06	22,00	1,32
PE folija	-	-	-
Toplinska izolacija	0,03	2,00	0,015
AB ploča	0,15	Uključeno u proračunskom modelu	
Žbuka	0,02	0,02	0,38
Instalacije	-	-	0,25

Ukupno dodatno stalno opterećenje: $\Delta g = 2,72$ (kN/m²)

3.2.4. Balkon

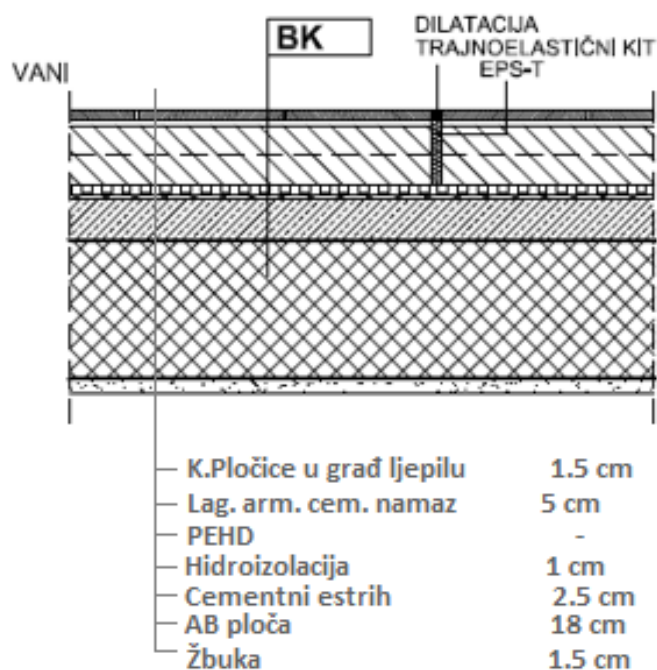


Tablica 3.2.3 Slojevi poda balkona

Sloj:	Debljina sloja (m):	γ (kN/m ³)	$d \times \gamma$ (kN/m ²)
Keramičke pločice u građevinskom ljepilu	0,015	18,00	0,27
Lagano armirani cementni namaz	0,06	22,00	1,30
Drenažna traka s čepićima prema dolje (PEHD)	-	-	-
Hidroizolacija	0,01	10,00	0,10
Zaglađeni cementni estrih	0.025	24.0	0.60
AB ploča	0,15	Uključeno u proračunskom modelu	
Završna fasadna žbuka	0,015	15,00	0,23

Ukupno dodatno stalno opterećenje: $\Delta g = 2,50$ (kN/m²)

3.2.5. Podest

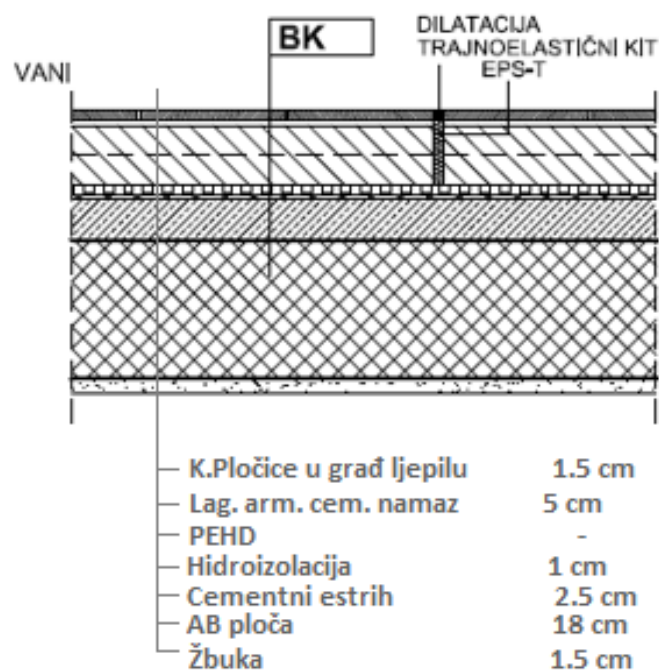


Tablica 3.2.3 Slojevi poda balkona

Sloj:	Debljina sloja (m):	γ (kN/m ³)	$d \times \gamma$ (kN/m ²)
Keramičke pločice u građevinskom ljepilu	0,03	18,00	0,54
Zaglađeni cementni estrih	0.05	22.0	1,10
AB ploča	0,18	Uključeno u proračunskom modelu	

Ukupno dodatno stalno opterećenje: $\Delta g = 1,64$ (kN/m²)

3.2.6. Stubišni krak



Tablica 3.2.3 Slojevi poda balkona

Sloj:	Debljina sloja (m):	γ (kN/m ³)	$d \times \gamma$ (kN/m ²)
Keramičke pločice u građevinskom ljepilu	0,02	28,00	0,56
Lagano armirani cementni namaz	0,01	20,00	0,2
Zaglađeni cementni estrih	0.075	20,00	1,5
AB ploča	0,18	Uključeno u proračunskom modelu	

Ukupno dodatno stalno opterećenje: $\Delta g = 2,31$ (kN/m²)

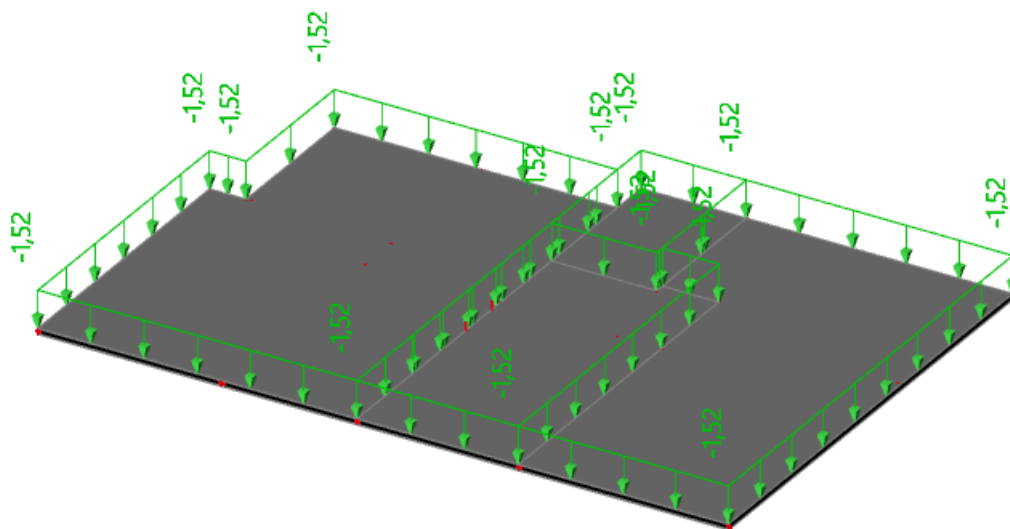
3.3. Promjenjivo opterećenje (Q_i)

Minimalno korisno opterećenje za zgrade definirano je u EC1991-1-1. Ovo korisno (pokretno) opterećenje je najmanje koje se smije primjeniti na zgradama. Na zahtjev investitora ili pri procjeni projektanta smije se koristiti i veće opterećenje. Za potrebe proračuna, a prema EC1991-1-1 korištena su sljedeća opterećenja:

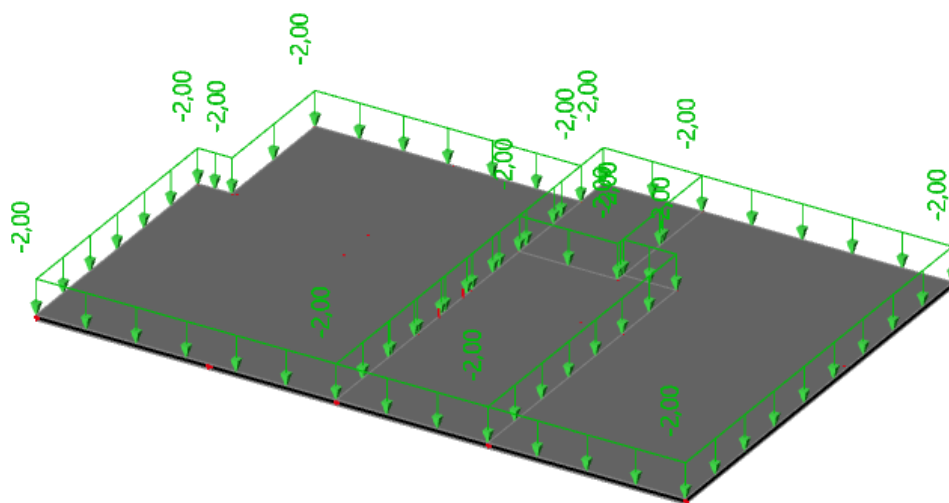
- Ravni krov: $q = 2,0 \text{ kN/m}^2$
- Poslovni prostori i stubišta: $q = 3,0 \text{ kN/m}^2$
- Stubišta: $q = 3,0 \text{ kN/m}^2$
- Balkoni i lođe: $q = 4,0 \text{ kN/m}^2$

4. PRIKAZ OSNOVNIH DJELOVANJA

4.1. Krovna ploča

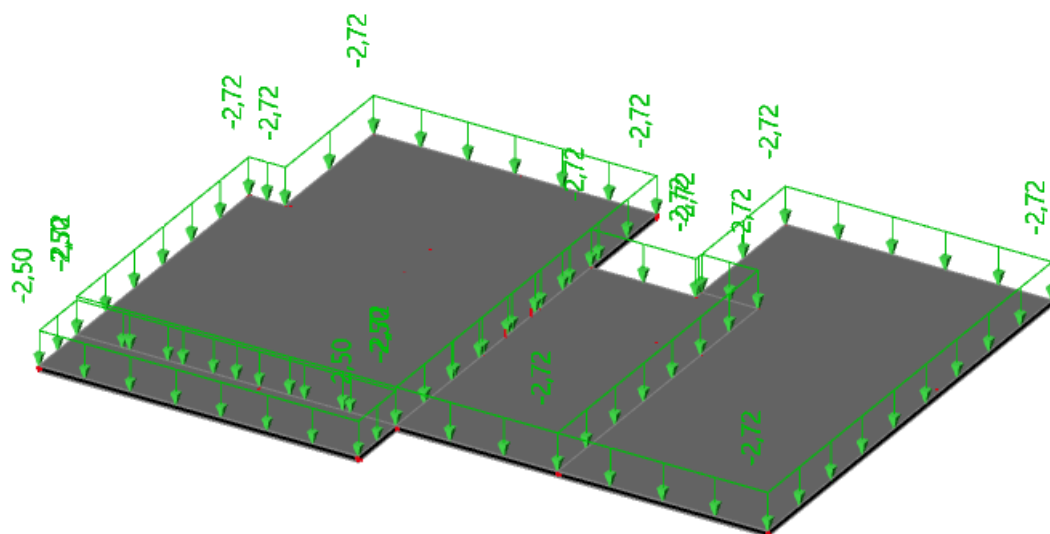


Slika 4.1.1 Dodatno stalno djelovanje G_1 [kN/m^2]

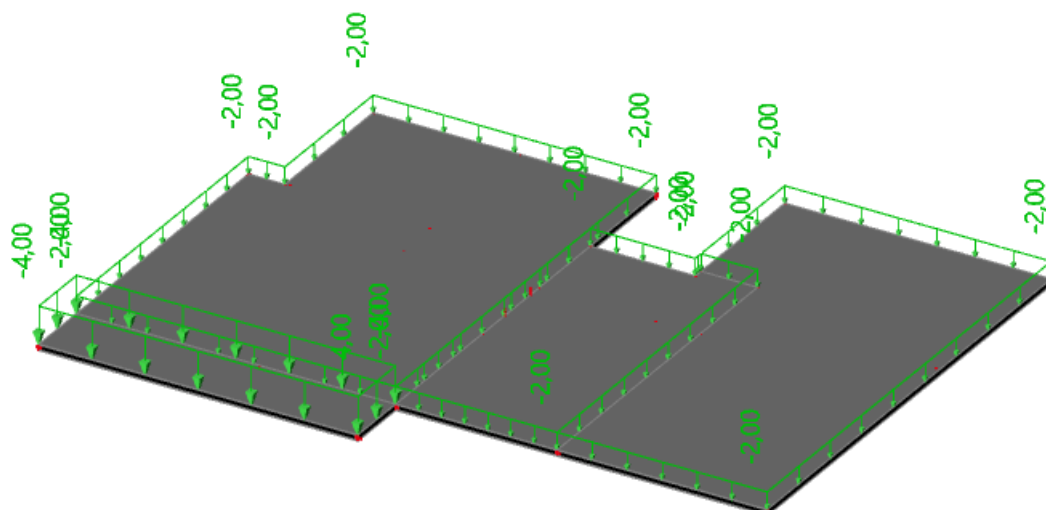


Slika 4.1.2 Promjenjivo djelovanje Q [kN/m^2]

4.2. Međukatna ploča



Slika 4.2.1 Dodatno stalno djelovanje $G1$ [kN/m^2]



Slika 4.2.2 Promjenjivo djelovanje Q [kN/m^2]

5. KOMBINACIJE DJELOVANJA

Za dokaz nosivosti elemenata konstrukcije predmetne građevine, djelovanja se kombiniraju za sljedeća granična stanja i iznose:

- **Granično stanje nosivosti**

GSN-1 $1.35 \cdot G + 1.5 \cdot Q$

G – vlastita težina + dodatno stalno djelovanje

**vlastita težina je uračunata u programu SCIA Engineer*

Q – uporabno djelovanje

- **Granično stanje uporabljivosti**

GSU $1.0 \cdot G + \gamma_{li} \cdot Q$

$1.0 \cdot G + 1.0 \cdot Q$

6. PRORAČUN PLOČA

6.1. Međukatna ploča

Limitirajući moment:

$$M_{Rd,lim} = \mu_{sd,lim} \cdot b_w \cdot d^2 \cdot f_{cd} = 0.187 \cdot 1.0 \cdot 0,12^2 \cdot 16,67 \cdot 1000 = 44,889 \text{ kNm}$$

Minimalna i maksimalna armatura:

$$A_{s,min} = 0.0015 \cdot b \cdot d = 0.0015 \cdot 100 \cdot 12 = 1,8 \text{ cm}^2 / m$$

$$A_{s,min} = 0.06 \cdot b \cdot \frac{d}{f_{yk}} = 0.06 \cdot 100 \cdot \frac{12}{500} = 1,44 \text{ cm}^2 / m$$

$$A_{s,max} = 0.31 \cdot b \cdot d \cdot \frac{f_{cd}}{f_{yd}} = 0.31 \cdot 100 \cdot 12 \cdot \frac{16,67}{434,80} = 14,26 \text{ cm}^2 / m$$

Za proračun armature usvaja se $\zeta \approx 0.9$, potrebna armatura :

$$A_{s1} = \frac{M_{Ed}}{\zeta \cdot d \cdot f_{yd}} = \frac{M_{Ed} \cdot 100}{0.9 \cdot 12 \cdot 43,48} = M_{Ed} \cdot 0.213$$

Računska nosivost na poprečnu silu bez poprečne armature :

$$V_{Rd,c} = \left[C_{Rdc} \cdot k \cdot (100 \cdot \rho_l \cdot f_{ck})^{1/3} + k_1 \cdot \vartheta_{cp} \right] \cdot b_w \cdot d$$

$$k = 1.0 + \sqrt{\frac{200}{d}} = 1.0 + \sqrt{\frac{200}{120}} = 1,3 \leq 2.0 \rightarrow k = 2.0$$

$$k_1 = 0.15$$

$$\vartheta_{cp} = \frac{N_{Ed}}{A_c} = 0.0$$

$$C_{Rdc} = \frac{0.18}{\gamma_c} = \frac{0.18}{1.5} = 0.12$$

$$\rho_l = \frac{\sum A_s}{A_c} = \frac{4,24}{12 \cdot 100} = 0.0035$$

$$V_{Rd,c} = \left[0.12 \cdot 2.0 \cdot (100 \cdot 0.0035 \cdot 25)^{1/3} + 0.15 \cdot 0.0 \right] \cdot 1000 \cdot 120$$

$$V_{Rd,c} = 59,34 \text{ kN/m}$$

$$V_{Rd,c,min} = \left[v_{min} + k_1 \cdot \vartheta_{cp} \right] \cdot b_w \cdot d$$

$$k = 0.15$$

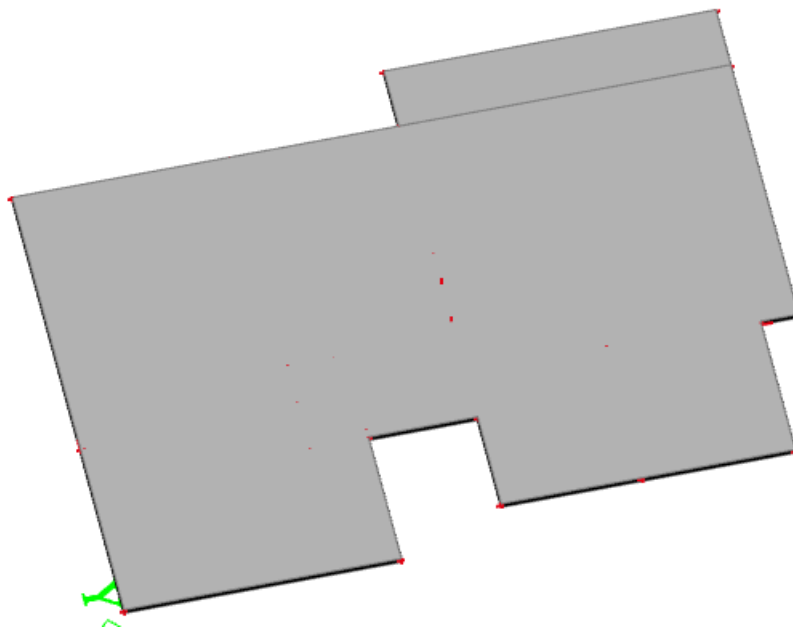
$$v_{min} = 0.035 \cdot k^{3/2} \cdot f_{ck}^{1/2} = 0.035 \cdot 2.0^{3/2} \cdot 25^{1/2} = 0.495$$

$$\vartheta_{cp} = \frac{N_{Ed}}{A_c} = 0.0$$

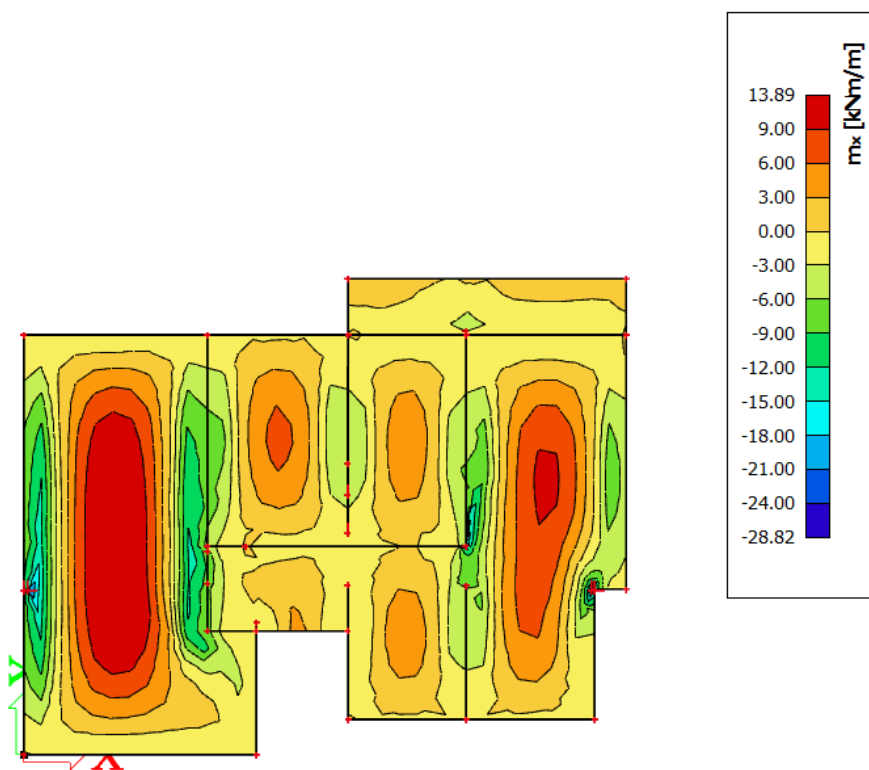
$$V_{Rd,c,min} = 0.495 \cdot 1000 \cdot 120 = 59,4 \text{ kN/m}$$

Uvjet je zadovoljen.

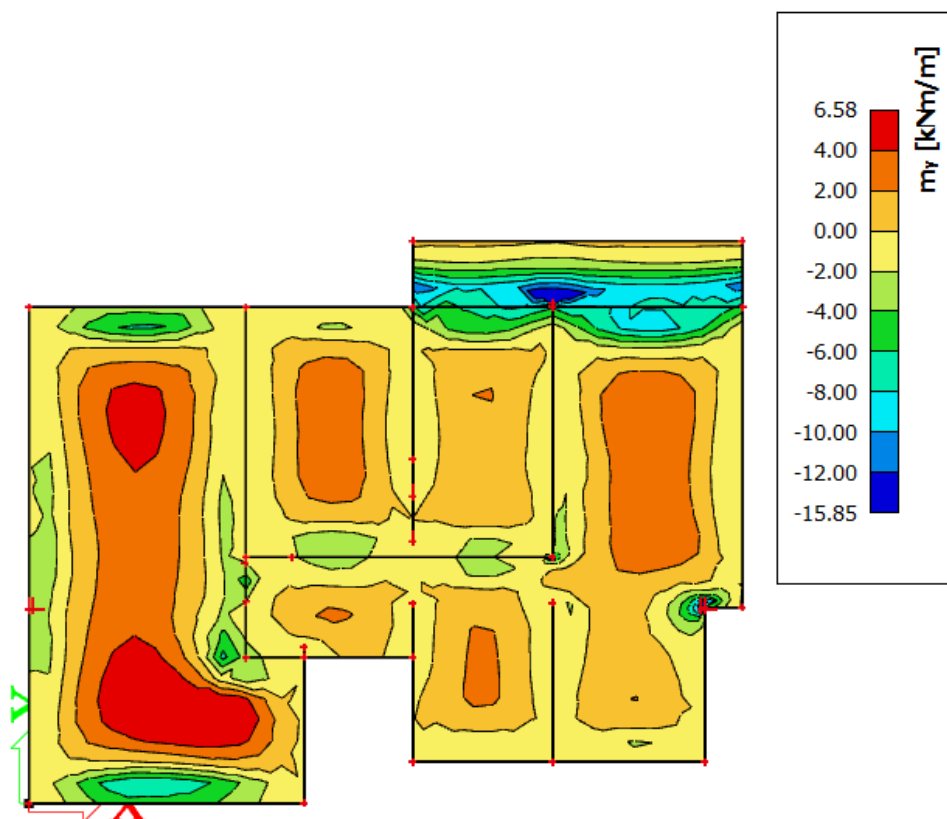
6.1.1. Prikaz modela i rezultata međukatne ploče



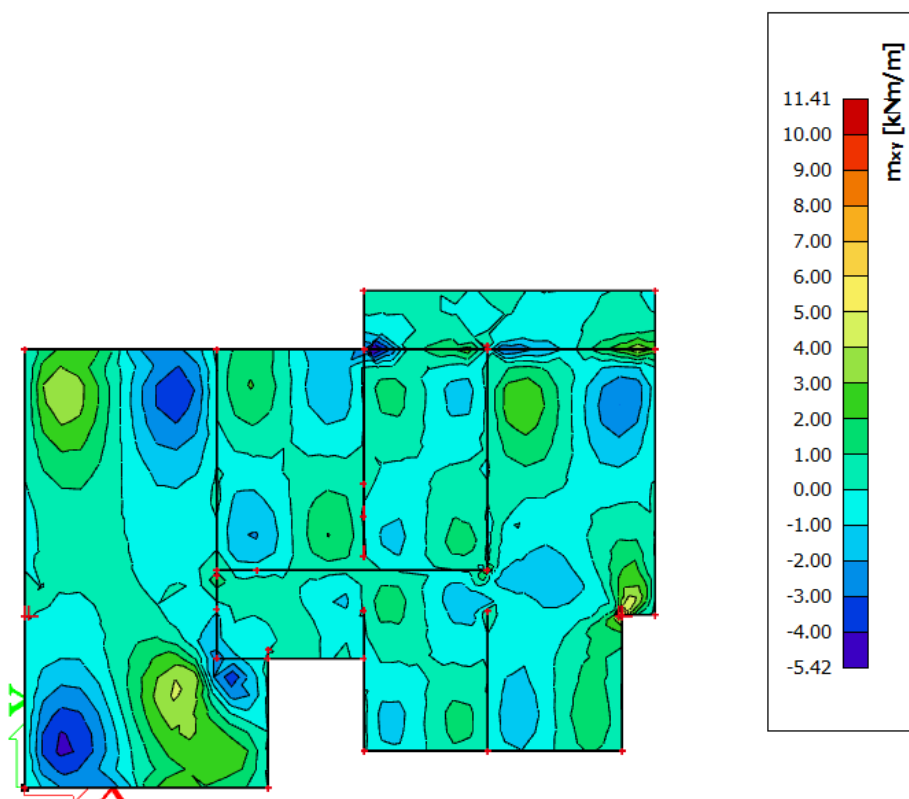
Slika 6.1 Prikaz modela ploče



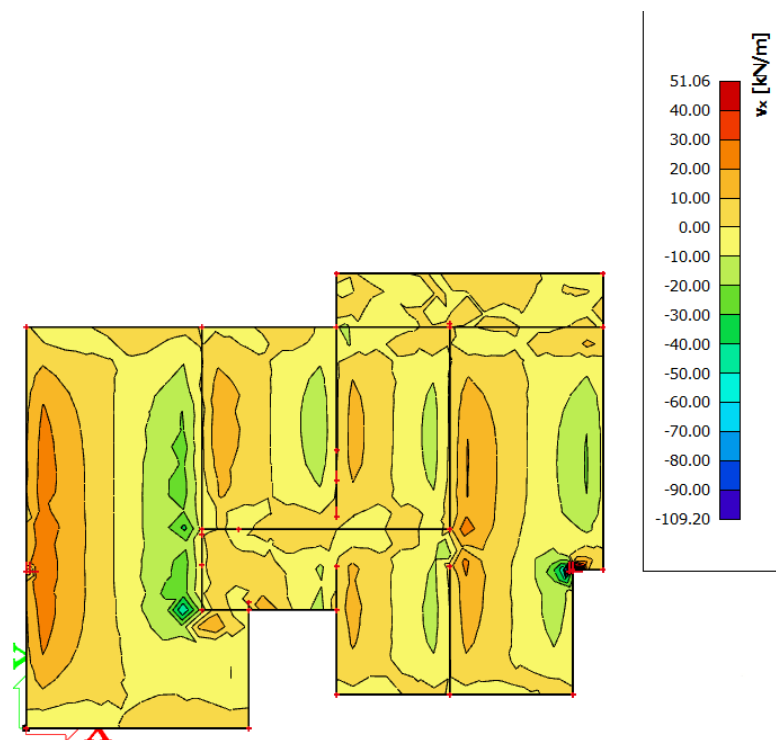
Slika 6.2 Moment savijanja $M_{Ed,x}$ (kNm/m) za GSN



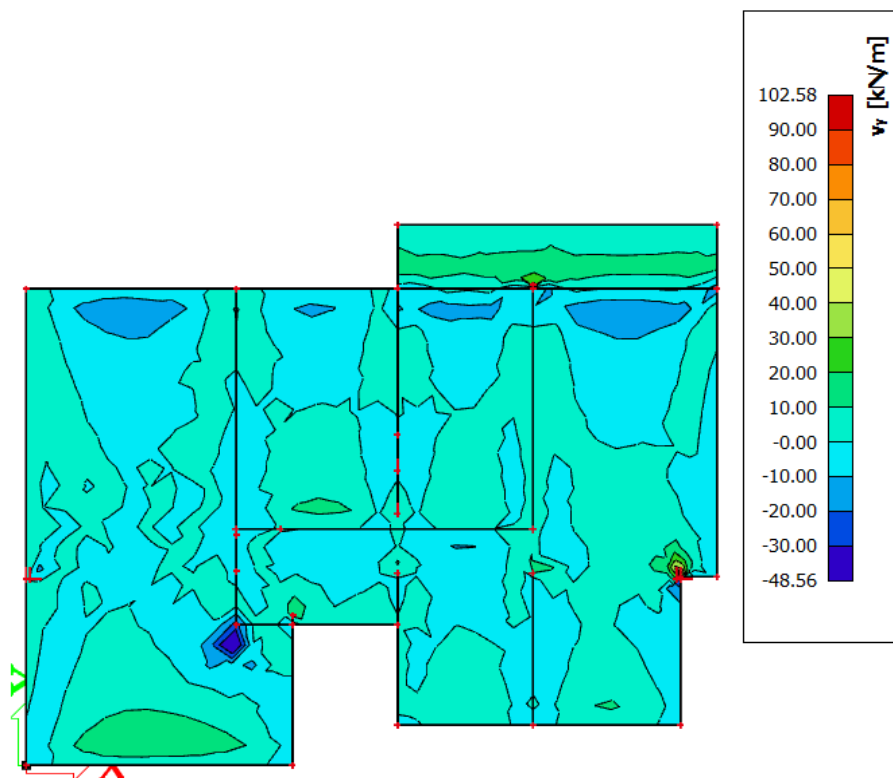
Slika 6.3 Moment savijanja $M_{Ed,y}$ (kNm/m) za GSN



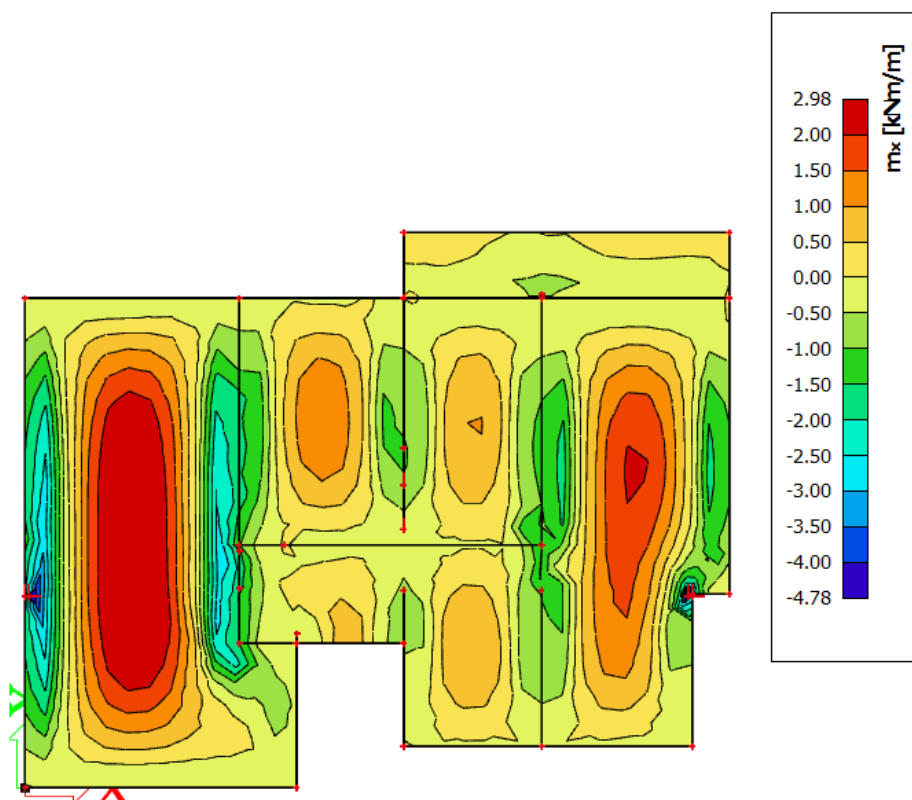
Slika 6.4 Moment savijanja $M_{Ed,xy}$ (kNm/m) za GSN



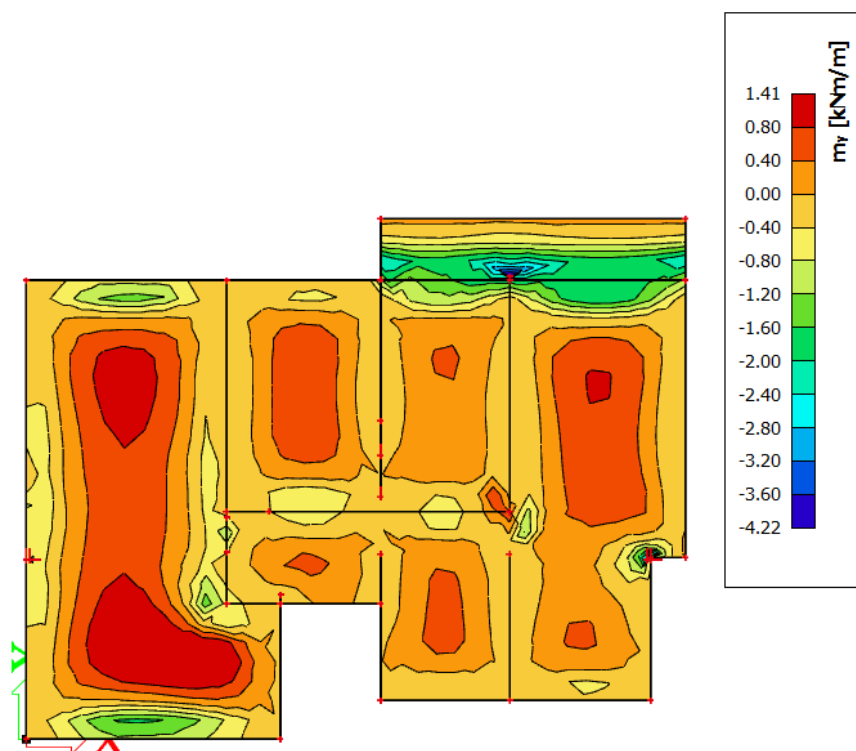
Slika 6.5 Poprečne sile $V_{Ed,x}$ (kN/m) za GSN



Slika 6.6 Poprečne sile $V_{Ed,y}$ (kN/m) za GSN



Slika 6.7 Potrebna površina armature $A_s(\text{cm}^2/\text{m})$ u x smjeru



Slika 6.8 Potrebna površina armature $A_s(\text{cm}^2/\text{m})$ u y smjeru

Napomena: Dobivenu armaturu zbog preraspodjele umanjiti (osim na konzolama) za 15% na ležajem i povećati za 30% u polju.

Potrebna armatura na ležaju: $A_s = 4,78 \times 0,85 = 4,06 \text{ cm}^2 / \text{m}'$

Potrebna armatura u polju: $A_s = 2,98 \times 1,30 = 3,87 \text{ cm}^2 / \text{m}'$

Odabrana armatura

Ležaj: Q-424 ($4,24 \text{ cm}^2 / \text{m}'$)

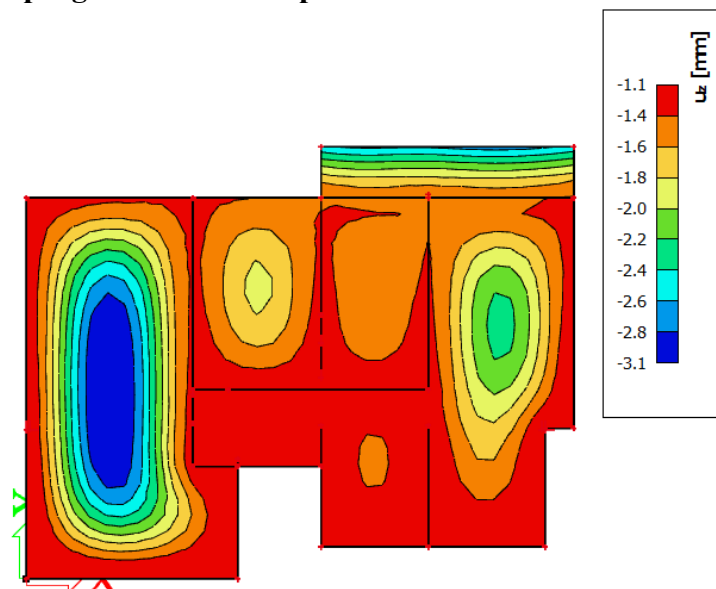
Polje: Q-424 ($4,24 \text{ cm}^2 / \text{m}'$)

6.1.2. Kontrola progiba i pukotina međukatne ploče

S obzirom da je model građevine modeliran na temeljnom tlu realnih karakteristika cijela građevina će imati pomake određenih vrijednosti, pa tako i međukatne ploče. Zbog nemogućnosti prikazivanja relativnih pomaka ploča bit će prikazani ukupni pomaci ploča koji nisu mjerodavni za analizu.

Kako bismo dobili pomake koji će prikazati pravo ponašanje ploče od ukupnih pomaka oduzet ćemo translacijsku komponentu pomaka, te na taj način dobivamo deformacijsku komponentu pomaka koja će se analizirati.

6.1.3. Kontrola progiba međukatne ploče



Slika 6.9 Progib ploče (mm) za kombinaciju GSU

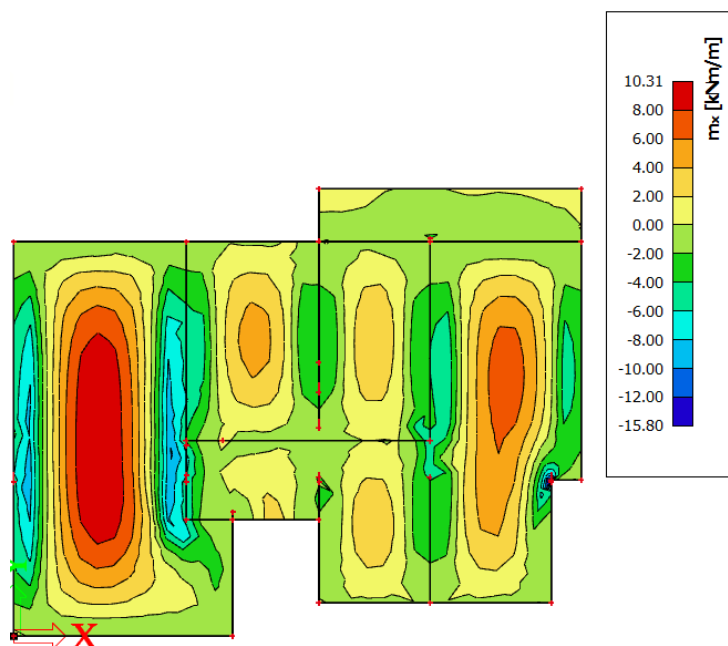
Najveći progib iznosa je 3,1 mm.

Dozvoljen progib $L/1000 = 5200/1000 = 5,25 \text{ mm}$

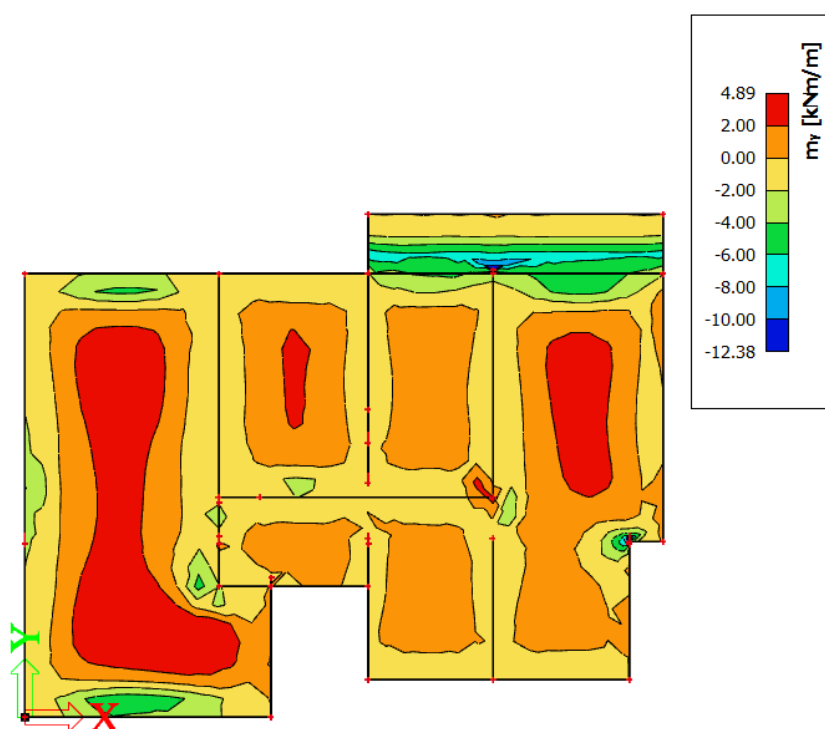
Međukatna ploča zadovoljava na progibe.

6.1.4. Kontrola pukotina

U priložena dva dijagrama odabire se najveći moment savijanja koji će biti mjerodavan izračunu širine pukotine.



Slika 6.11 Moment savijanja $M_{Ed,x}$ (kNm/m) za GSU



Slika 6.12 Moment savijanja $M_{Ed,y}$ (kNm/m) za GSU

Mjerodavni moment $M = 10,31 \text{ kNm/m}$

Prognozna širina pukotine:

$$w_k = s_{r,max} \cdot (\varepsilon_{sm} - \varepsilon_{cm})$$

Vrijednost $\varepsilon_{sm} - \varepsilon_{cm}$ određuje se prema izrazu :

$$\varepsilon_{sm} - \varepsilon_{cm} = \frac{\sigma_s - k_t \frac{f_{ct,eff}}{\rho_{p,eff}} (1 + \alpha_e \cdot \rho_{p,eff})}{E_s} \geq 0.6 \cdot \frac{\sigma_s}{E_s}$$

$$x = \frac{\alpha_{e1} \cdot A_{s1}}{b} \cdot \left(-1 + \sqrt{1 + \frac{2 \cdot b \cdot d}{\alpha_{e1} \cdot A_{s1}}} \right) = \frac{6.45 \cdot 4.24}{100} \cdot \left(-1 + \sqrt{1 + \frac{2 \cdot 100 \cdot 12}{6.45 \cdot 4.24}} \right) \\ = 2.3 \text{ cm}$$

$$\sigma_s = \frac{M_{Ed}}{z \cdot A_s} \approx \frac{M_{Ed}}{\left(d - \frac{x}{3}\right) \cdot A_s} = \frac{1031}{\left(12 - \frac{2.3}{3}\right) \cdot 4.24} = 21,65 \frac{\text{kN}}{\text{cm}^2} = 216,5 \text{ MPa}$$

Za C 25/30 $\rightarrow f_{ct,eff} = 2.6 \text{ MPa}$

$A_{s1} = Q - 424 = 4,24 \text{ cm}^2$

$E_{cm} = 31.0 \text{ GPa} = 31\,000 \text{ MPa}$ – modul elastičnosti betona

$E_s = 200.0 \text{ GPa} = 200\,000 \text{ MPa}$ – modul elastičnosti armature

$\alpha_e = \frac{E_s}{E_{cm}} = \frac{200}{31} = 6.45$ – Odnos modula elastičnosti

Djelotvorni koeficijent armiranja glavnom vlačnom armaturom:

$$\rho_{p,eff} = \frac{A_s}{A_{c,eff}} = \frac{4.24}{100 \cdot (2.5 \cdot 3.0)} = 0.0057$$

$$\varepsilon_{sm} - \varepsilon_{cm} = \frac{216,5 - 0.4 \frac{2.6}{0.0057} (1 + 6.45 \cdot 0.0057)}{200000} \geq 0.6 \cdot \frac{216,5}{200000}$$

$$-0.00014 \geq 0.00065$$

$$\varepsilon_{sm} - \varepsilon_{cm} = 0.00065$$

Srednji razmak pukotina:

$$s_{r,max} = k_3 \cdot c + k_1 \cdot k_2 \cdot k_4 \cdot \frac{\emptyset}{\rho_{p,eff}} [mm]$$

$\emptyset = 8.0 \text{ mm}$ –

$c = 20 \text{ mm}$ – Zaštitni sloj uzdužne armature

$k_1 = 0.8$ – Rebrasta armatura

$k_2 = 0.5$ – Savijanje

$k_3 = 3.4$

$k_4 = 0.425$

$$s_{r,max} = 3.4 \cdot 20 + 0.8 \cdot 0.5 \cdot 0.425 \cdot \frac{8}{0.0057} = 306 \text{ mm}$$

Karakteristična širina pukotina:

$$w_k = s_{r,max} \cdot (\varepsilon_{sm} - \varepsilon_{cm}) = 306 \cdot 0.00065 = 0.19 \text{ mm} < w_g = 0.3 \text{ mm}$$

Pukotine zadovoljavaju!

6.2. Proračun krovne ploče

Limitirajući moment:

$$M_{Rd,lim} = \mu_{sd,lim} \cdot b_w \cdot d^2 \cdot f_{cd} = 0.187 \cdot 1.0 \cdot 0.12^2 \cdot 16.67 \cdot 1000 = 44,889 \text{ kNm}$$

Minimalna i maksimalna armatura:

$$A_{s,min} = 0.0015 \cdot b \cdot d = 0.0015 \cdot 100 \cdot 12 = 1,8 \text{ cm}^2 / m$$

$$A_{s,min} = 0.06 \cdot b \cdot \frac{d}{f_{yk}} = 0.06 \cdot 100 \cdot \frac{12}{500} = 1,44 \text{ cm}^2 / m$$

$$A_{s,max} = 0.31 \cdot b \cdot d \cdot \frac{f_{cd}}{f_{yd}} = 0.31 \cdot 100 \cdot 12 \cdot \frac{16,67}{434,80} = 14,26 \text{ cm}^2 / m$$

Za proračun armature usvaja se $\zeta \approx 0.9$, potrebna armatura :

$$A_{s1} = \frac{M_{Ed}}{\zeta \cdot d \cdot f_{yd}} = \frac{M_{Ed} \cdot 100}{0.9 \cdot 12 \cdot 43.48} = M_{Ed} \cdot 0.213$$

Računska nosivost na poprečnu silu bez poprečne armature :

$$V_{Rd,c} = \left[C_{Rdc} \cdot k \cdot (100 \cdot \rho_l \cdot f_{ck})^{1/3} + k_1 \cdot \vartheta_{cp} \right] \cdot b_w \cdot d$$

$$k = 1.0 + \sqrt{\frac{200}{d}} = 1.0 + \sqrt{\frac{200}{120}} = 1,3 \leq 2.0 \rightarrow k = 2.0$$

$$k_1 = 0.15$$

$$\vartheta_{cp} = \frac{N_{Ed}}{A_c} = 0.0$$

$$C_{Rdc} = \frac{0.18}{\gamma_c} = \frac{0.18}{1.5} = 0.12$$

$$\rho_l = \frac{\sum A_s}{A_c} = \frac{4,24}{12 \cdot 100} = 0.0035$$

$$V_{Rd,c} = \left[0.12 \cdot 2.0 \cdot (100 \cdot 0.0035 \cdot 25)^{1/3} + 0.15 \cdot 0.0 \right] \cdot 1000 \cdot 120$$

$$V_{Rd,c} = 59,34 \text{ kN/m}$$

$$V_{Rd,c,min} = \left[v_{min} + k_1 \cdot \vartheta_{cp} \right] \cdot b_w \cdot d$$

$$k = 0.15$$

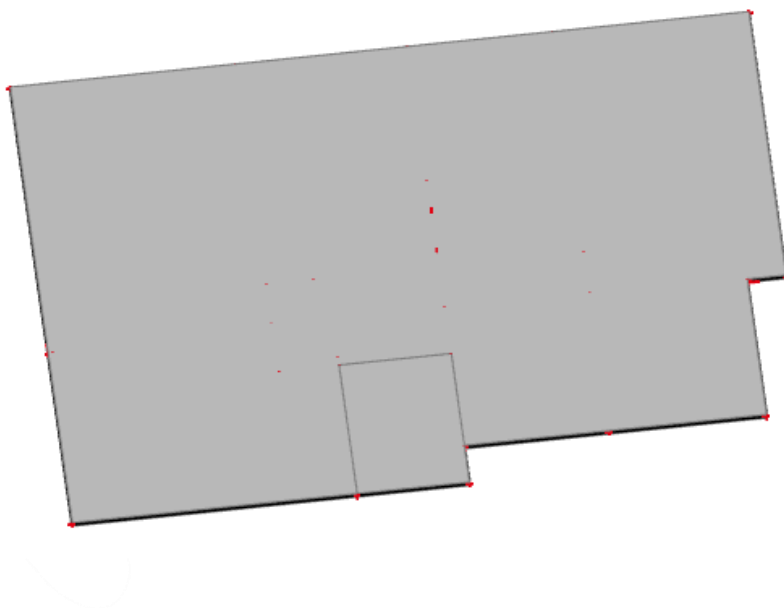
$$v_{min} = 0.035 \cdot k^{3/2} \cdot f_{ck}^{1/2} = 0.035 \cdot 2.0^{3/2} \cdot 25^{1/2} = 0.495$$

$$\vartheta_{cp} = \frac{N_{Ed}}{A_c} = 0.0$$

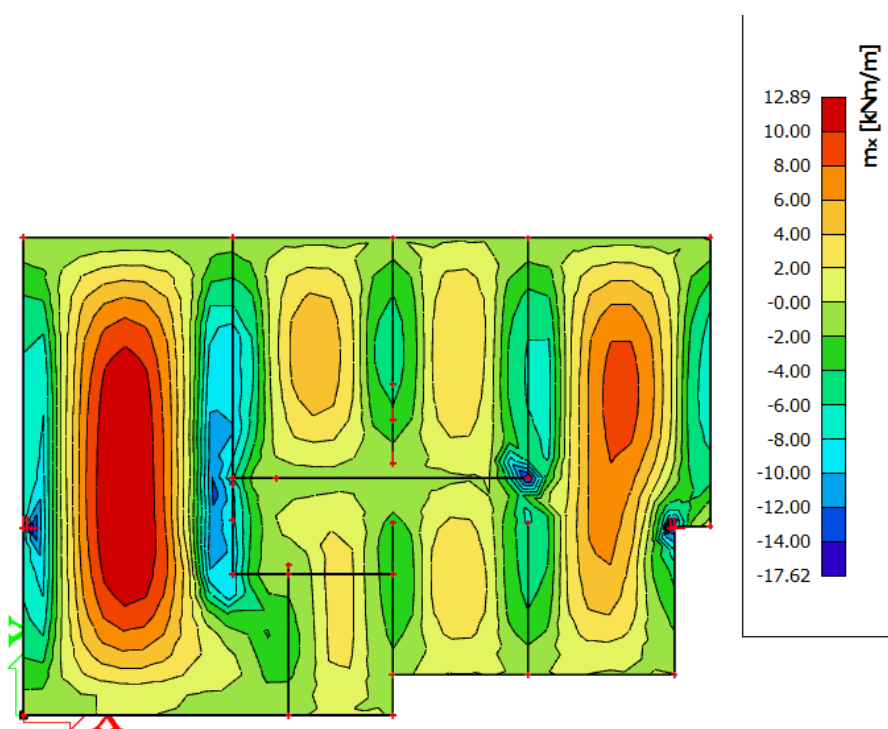
$$V_{Rd,c,min} = 0.495 \cdot 1000 \cdot 120 = 59,4 \text{ kN/m}$$

Uvjet je zadovoljen.

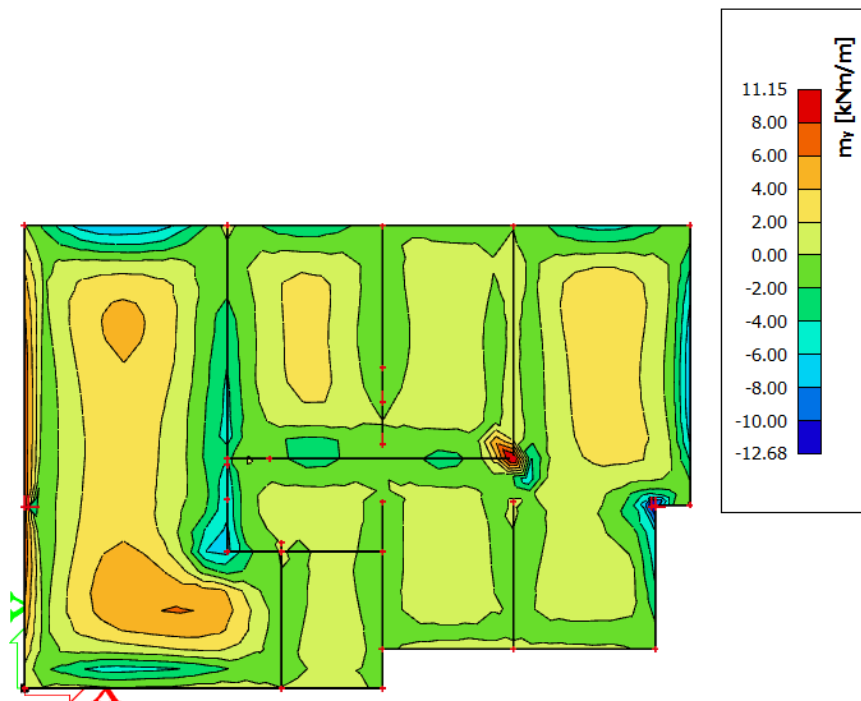
6.2.1. Prikaz modela i rezultata krovnne ploče



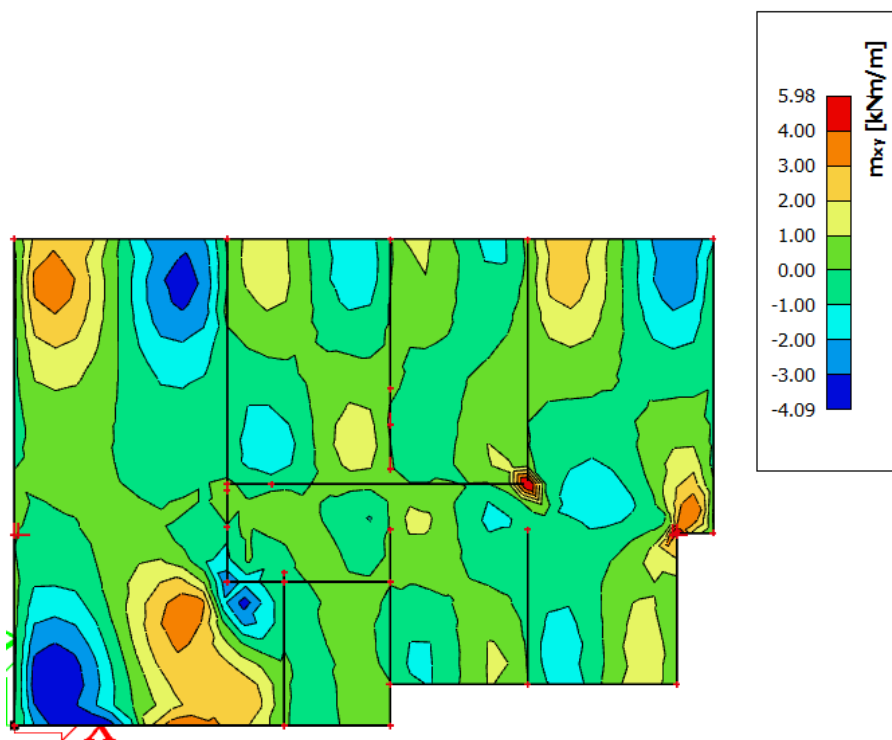
Slika 6.13 Prikaz modela



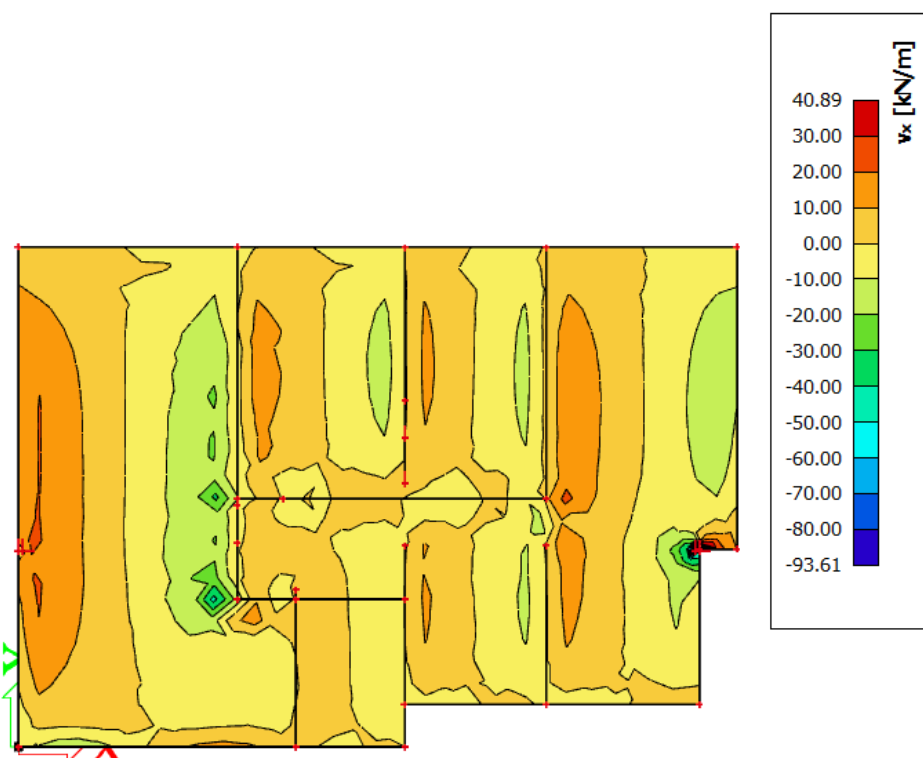
Slika 6.14 Moment savijanja $M_{Ed,x}$ (kNm/m) za GSN



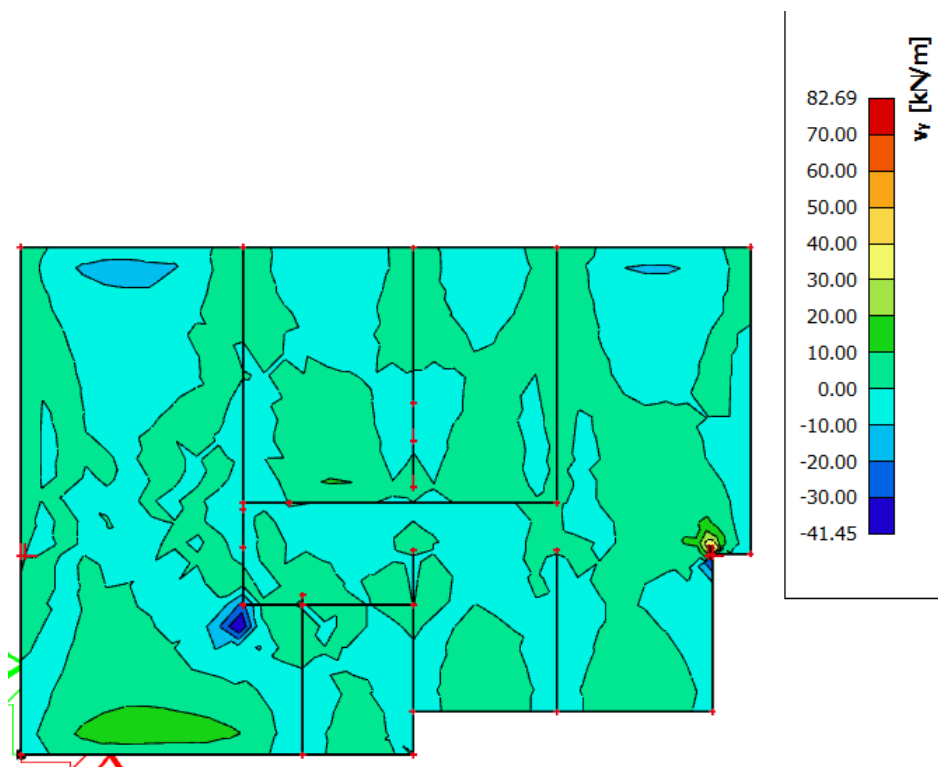
Slika 6.15 Moment savijanja $M_{Ed,y}$ (kNm/m) za GSN



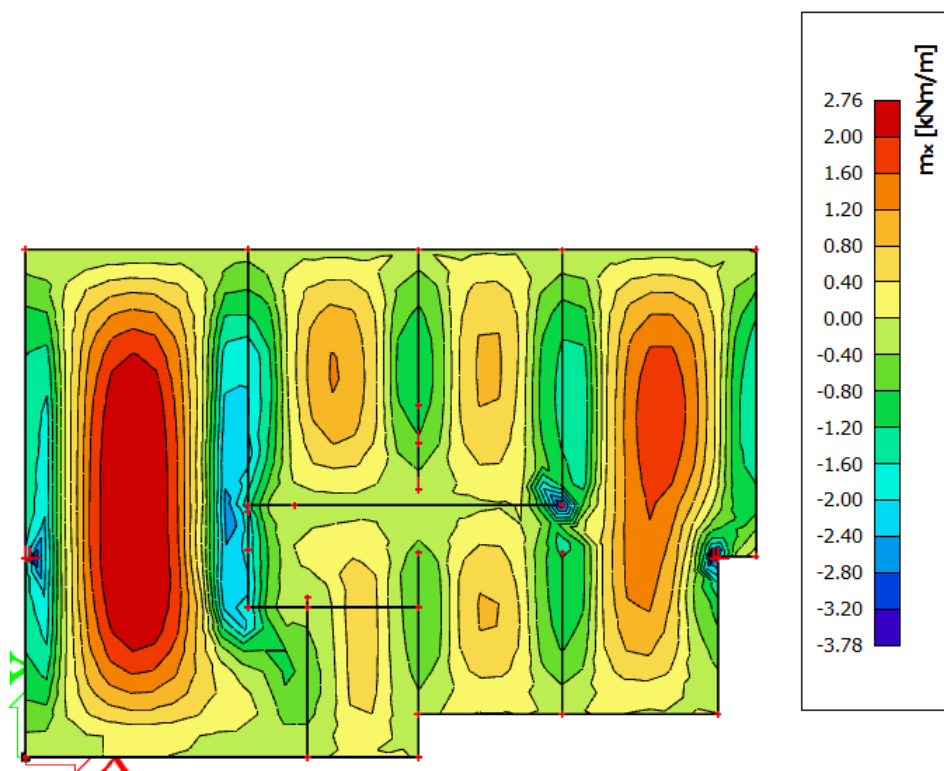
Slika 6.16 Moment savijanja $M_{Ed,xy}$ (kNm/m) za GSN



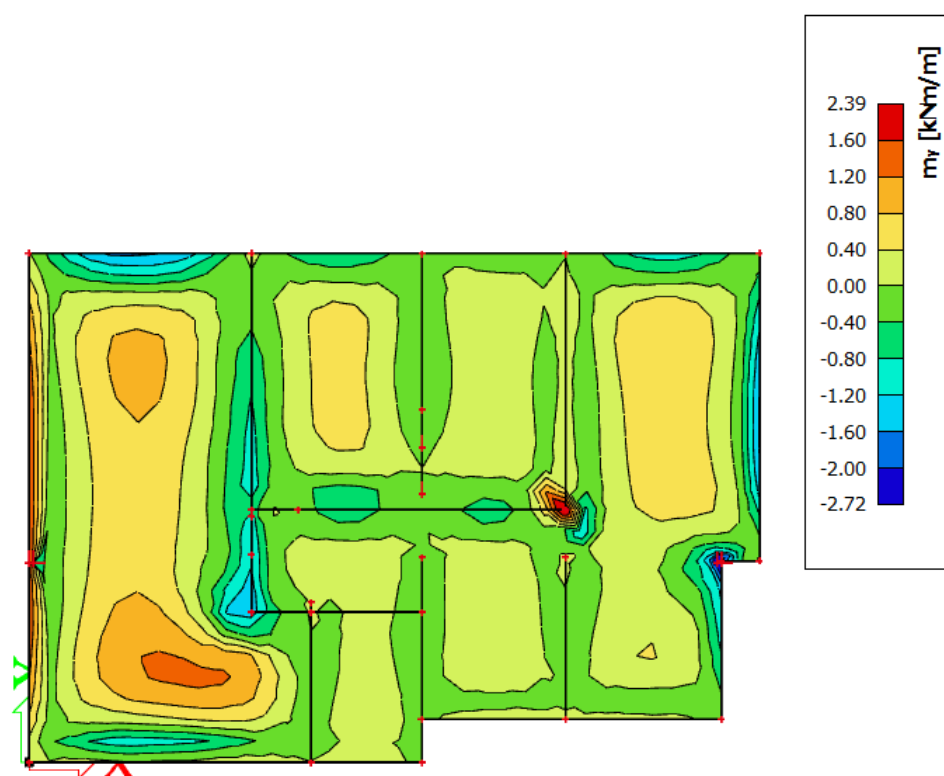
Slika 6.17 Poprečne sile $V_{Ed,x}$ (kN/m) za GSN



Slika 6.18 Poprečne sile $V_{Ed,y}$ (kN/m) za GSN



Slika 6.19 Potrebna površina armature $A_s(\text{cm}^2/\text{m})$ u x smjeru



Slika 6.20 Potrebna površina armature $A_s(\text{cm}^2/\text{m})$ u y smjeru

Napomena: Dobivenu armaturu zbog preraspodjele umanjiti za 15% nad ležajem i povećati za 30% u polju.

Potrebna armatura na ležaju: $A_s = 3,78 \times 0,85 = 3,2 \text{ cm}^2 / \text{m}'$

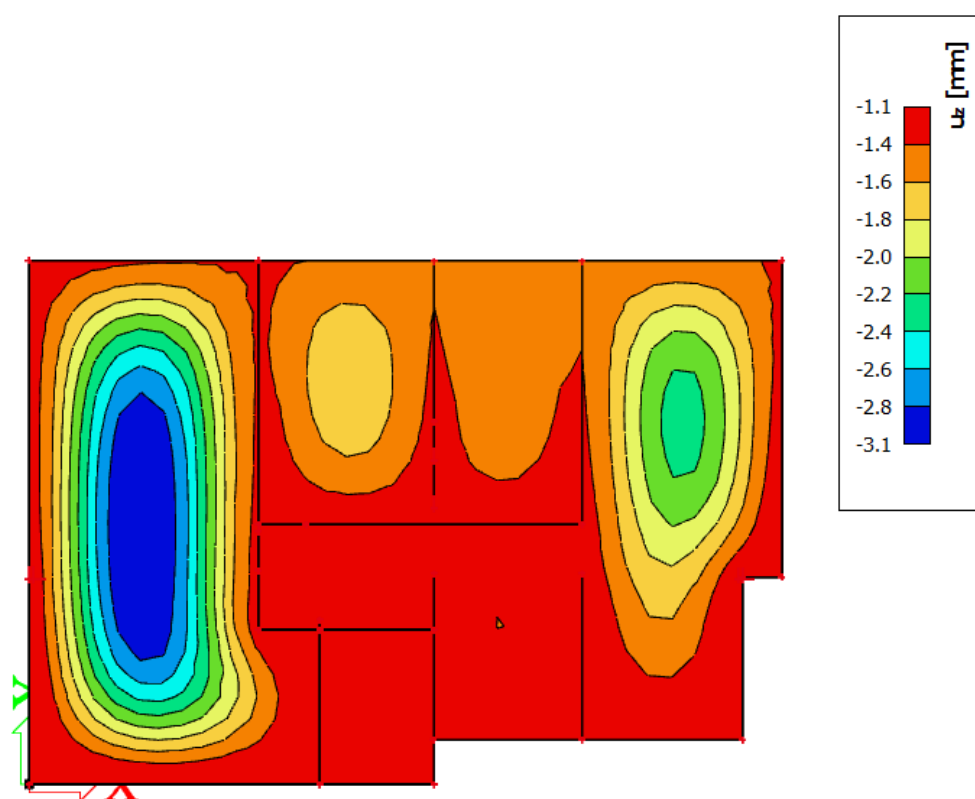
Potrebna armatura u polju: $A_s = 2,76 \times 1,30 = 3,58 \text{ cm}^2 / \text{m}'$

Odabrana armatura

Ležaj: Q-424 ($4,24 \text{ cm}^2 / \text{m}'$)

Polje: Q-424 ($4,24 \text{ cm}^2 / \text{m}'$)

6.2.2. Kontrola progiba



Slika 6.21 Progib ploče (mm) za kombinaciju GSU

Najveći progib iznosa je 3,1 mm

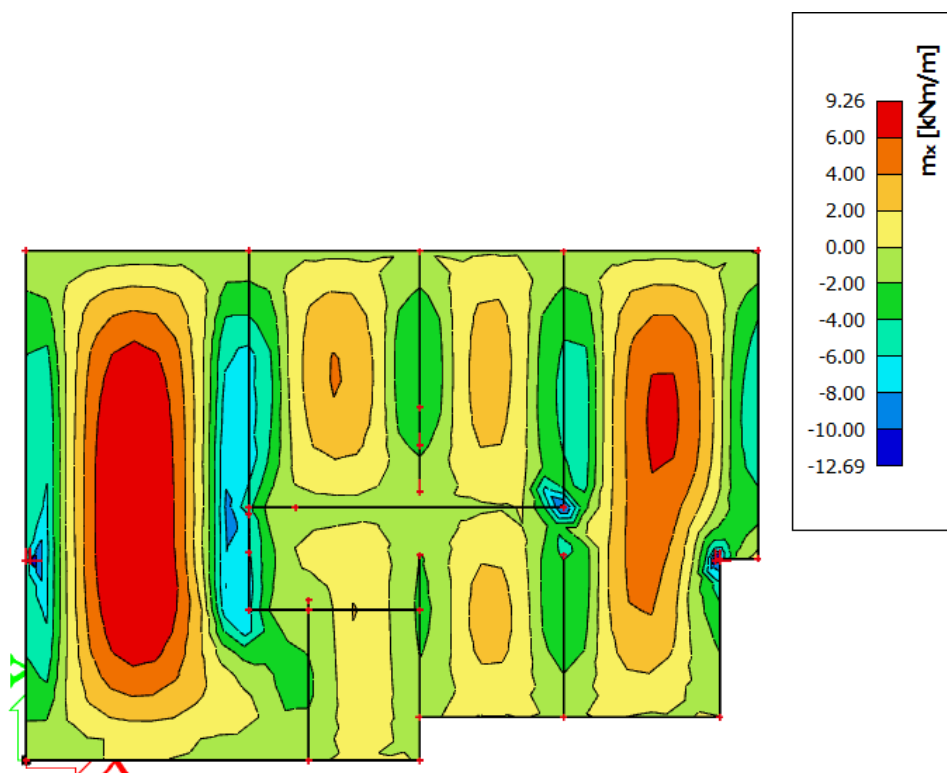
Dozvoljen progib $L/1000 = 5200/1000 = 5,2 \text{ mm}$

Krovna ploča zadovoljava na progibe.

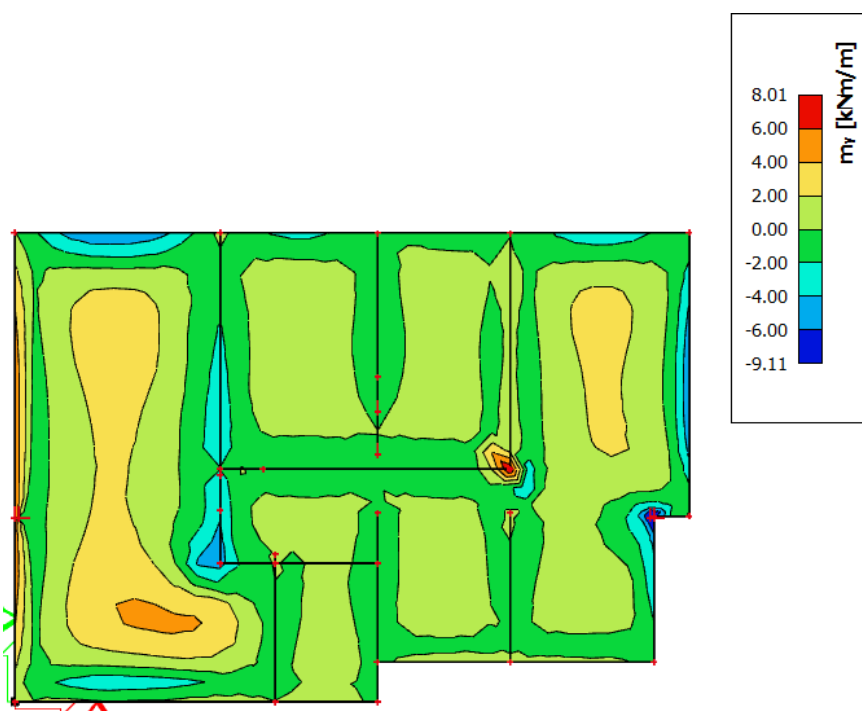
Oduzimanjem translacijske komponente pomaka dobivamo komponentu koja je se analizira odnosno provjerava je li zadovoljava dozvoljene granice.

Kod 3-D modela koji su modelirani sa realnim karakteristikama tla bilo bi poželjno napraviti poseban model ploče karakteristične etaže.

6.2.3. Kontrola pukotina



Slika 6.23 Moment savijanja $M_{Ed,x}$ (kNm/m) za GSU



Slika 6.24 Moment savijanja $M_{Ed,y}$ (kNm/m) za GSU

Mjerodavni moment $M = 9,26 \text{ kNm/m}$

Prognozna širina pukotine:

$$w_k = s_{r,max} \cdot (\varepsilon_{sm} - \varepsilon_{cm})$$

Vrijednost $\varepsilon_{sm} - \varepsilon_{cm}$ određuje se prema izrazu :

$$\varepsilon_{sm} - \varepsilon_{cm} = \frac{\sigma_s - k_t \frac{f_{ct,eff}}{\rho_{p,eff}} (1 + \alpha_\varepsilon \cdot \rho_{p,eff})}{E_s} \geq 0.6 \cdot \frac{\sigma_s}{E_s}$$

$$x = \frac{\alpha_{\varepsilon 1} \cdot A_{s1}}{b} \cdot \left(-1 + \sqrt{1 + \frac{2 \cdot b \cdot d}{\alpha_{\varepsilon 1} \cdot A_{s1}}} \right) = \frac{6.45 \cdot 4,24}{100} \cdot \left(-1 + \sqrt{1 + \frac{2 \cdot 100 \cdot 12}{6.45 \cdot 4,24}} \right) \\ = 2.3 \text{ cm}$$

$$\sigma_s = \frac{M_{Ed}}{z \cdot A_s} \approx \frac{M_{Ed}}{\left(d - \frac{x}{3}\right) \cdot A_s} = \frac{926}{\left(12 - \frac{2.3}{3}\right) \cdot 4,24} = 19,44 \frac{\text{kN}}{\text{cm}^2} = 194,42 \text{ MPa}$$

Za C 25/30 $\rightarrow f_{ct,eff} = 2.6 \text{ MPa}$

$A_{s1} = Q - 424 = 4,24 \text{ cm}^2$

$E_{cm} = 31.0 \text{ GPa} = 31\,000 \text{ MPa}$ – modul elastičnosti betona

$E_s = 200.0 \text{ GPa} = 200\,000 \text{ MPa}$ – modul elastičnosti armature

$\alpha_e = \frac{E_s}{E_{cm}} = \frac{200}{31} = 6.45$ – Odnos modula elastičnosti

Djelotvorni koeficijent armiranja glavnom vlačnom armaturom:

$$\rho_{p,eff} = \frac{A_s}{A_{c,eff}} = \frac{4,24}{100 \cdot (2.5 \cdot 3.0)} = 0.0057$$

$$\varepsilon_{sm} - \varepsilon_{cm} = \frac{194,42 - 0.4 \frac{2.6}{0.0057} (1 + 6.45 \cdot 0.0057)}{200000} \geq 0.6 \cdot \frac{194,42}{200000}$$

$$-0.000026 \geq 0.00058$$

$$\varepsilon_{sm} - \varepsilon_{cm} = 0.00058$$

Srednji razmak pukotina:

$$s_{r,max} = k_3 \cdot c + k_1 \cdot k_2 \cdot k_4 \cdot \frac{\emptyset}{\rho_{p,eff}} [mm]$$

$\emptyset = 7.0 \text{ mm}$ –

$c = 20 \text{ mm}$ – Zaštitni sloj uzdužne armature

$k_1 = 0.8$ – Rebrasta armatura

$k_2 = 0.5$ – Savijanje

$k_3 = 3.4$

$k_4 = 0.425$

$$s_{r,max} = 3.4 \cdot 20 + 0.8 \cdot 0.5 \cdot 0.425 \cdot \frac{7}{0.0057} = 306 \text{ mm}$$

Karakteristična širina pukotina:

$$w_k = s_{r,max} \cdot (\varepsilon_{sm} - \varepsilon_{cm}) = 306 \cdot 0.00058 = 0.18 \text{ mm} < w_g = 0.3 \text{ mm}$$

Pukotine zadovoljavaju!

7. PRORAČUN AB GREDA

Limitirajući moment:

$$M_{Rd,lim} = \mu_{Sd,lim} \cdot b_w \cdot d^2 \cdot f_{cd} = 0.159 \cdot 0.2 \cdot 0.52^2 \cdot 16.67 \cdot 1000 = 344.46 \text{ kNm}$$

Minimalna i maksimalna armatura za grede:

$$A_{s,min}^{polje} = 0.0015 \cdot b_w \cdot d = 0.0015 \cdot 30 \cdot 42 = 1,89 \text{ cm}^2$$

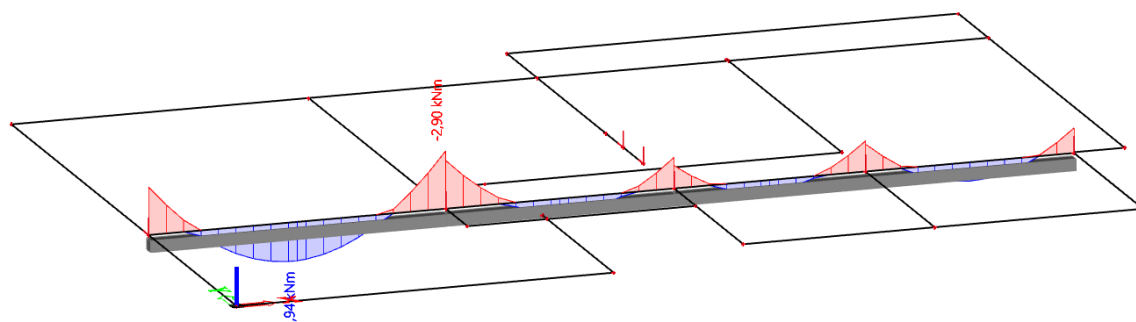
$$A_{s,min}^{ležaj} = 0.0015 \cdot b_{eff} \cdot d = 0.0015 \cdot 86,95 \cdot 42 = 5,48 \text{ cm}^2$$

$$A_{s,max}^{polje} = 0.31 \cdot b_w \cdot d \cdot \frac{f_{cd}}{f_{yd}} = 0.31 \cdot 30 \cdot 42 \cdot \frac{16.67}{434.78} = 14,98 \text{ cm}^2$$

$$A_{s,max}^{ležaj} = 0.85 \cdot b_{eff} \cdot h_f \cdot \frac{f_{cd}}{f_{yd}} = 0.85 \cdot 86,95 \cdot 45 \cdot \frac{16.67}{434.78} = 127,51 \text{ cm}^2$$

7.1. Međukatna greda

7.1.1. Prikaz rezultata proračuna



Slika 7.1 Moment savijanja $M_{Ed,y}$ (kNm/m) za GSN

Napomena: Predraspodjela momenta savijanja u gredama, moment u polju povećati za 30%, a moment nad ležajem smanjiti za 15%.

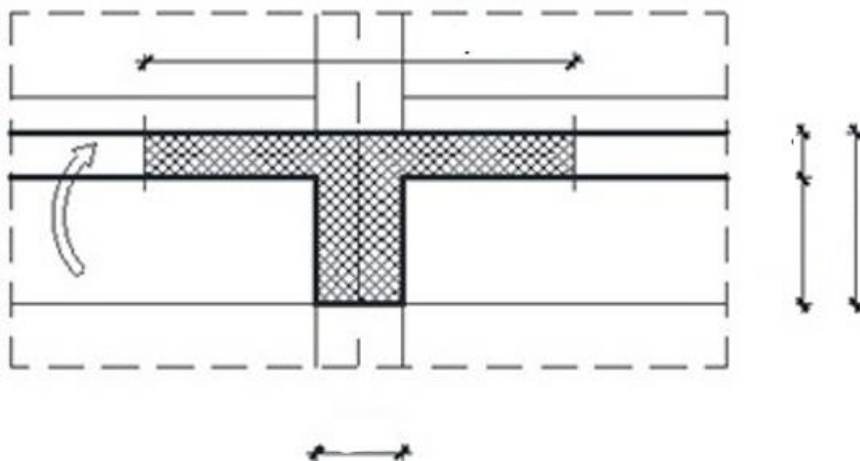
$$M_{max}^{polje} = 1,94 \cdot 1.30 = 2,5 \text{ kNm}$$

$$M_{max}^{ležaj} = 2,9 \cdot 0.85 = 2,5 \text{ kNm}$$

7.1.2. Dimenzioniranje na moment savijanja

Polje:

Utjecajna širina: $b_{eff} = b_0 + \frac{l_0}{5} \leq e \rightarrow b_{eff} = 30 + \frac{0.85 \cdot 335}{5} = 86,95 \text{ cm}$



$M_{Ed} = 2,5 \text{ kNm}$

$$\mu_{sd} = \frac{M_{Ed}}{b_{eff} \cdot d^2 \cdot f_{cd}} = \frac{2,5 \cdot 100}{86,95 \cdot 42^2 \cdot 16,67} = 0,0001$$

Očitano: $\varepsilon_{s1} = 10,0 \text{ ‰}$ $\varepsilon_{c2} = 0,1$ $\xi = 0,010$ $\zeta = 0,997$

$$x = \xi \cdot d = 0,010 \cdot 47 = 0,47 \text{ cm} < h_{pl}$$

$$A_{s1} = \frac{M_{Ed}}{\zeta \cdot d \cdot f_{yd}} = \frac{2,5 \cdot 100}{0,997 \cdot 47 \cdot 43,48} = 0,12 \text{ cm}^2$$

Odabrano $4\emptyset 10 (A_s = 3,14 \text{ cm}^2)$

Ležaj:

$M_{Ed} = 2,5 \text{ kNm}$

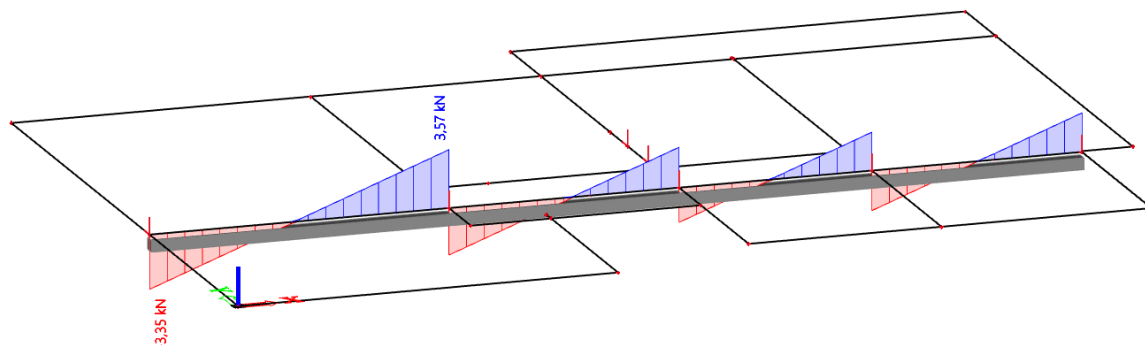
$$\mu_{sd} = \frac{M_{Ed}}{b_w \cdot d^2 \cdot f_{cd}} = \frac{2,5 \cdot 100}{40 \cdot 42^2 \cdot 16,67} = 0,0001$$

Očitano: $\varepsilon_{s1} = 10,0 \text{ ‰}$ $\varepsilon_{c2} = 0,1 \text{ ‰}$ $\xi = 0,010$ $\zeta = 0,997$

$$A_{s1} = \frac{M_{Ed}}{\zeta \cdot d \cdot f_{yd}} = \frac{2,5 \cdot 100}{0,997 \cdot 42 \cdot 43,48} = 0,12 \text{ cm}^2$$

Odabrano $4\emptyset 10 (A_s = 3,14 \text{ cm}^2)$

7.1.3. Dimenzioniranje na poprečnu silu



Slika 7.2 Poprečne sile $V_{Ed,z}$ (kN/m) za GSN

$$V_{Ed} = 3,57 \text{ kN}$$

$$V_{Rd,c} = \left[C_{Rdc} \cdot k \cdot (100 \cdot \rho_l \cdot f_{ck})^{1/3} + k_1 \cdot \vartheta_{cp} \right] \cdot b_w \cdot d$$

$$k = 1.0 + \sqrt{\frac{200}{d}} = 1.0 + \sqrt{\frac{200}{420}} = 1,69 \leq 2.0 \rightarrow k = 1.69$$

$$k = 0.15$$

$$\vartheta_{cp} = \frac{N_{Ed}}{A_c} = 0.0$$

$$C_{Rdc} = \frac{0.18}{\gamma_c} = \frac{0.18}{1.5} = 0.12$$

$$\rho_l = \frac{\sum A_s}{A_c} = \frac{6.28}{30 \cdot 45} = 0.002$$

$$V_{Rd,c} = \left[0.12 \cdot 1.69 \cdot (100 \cdot 0.002 \cdot 25)^{1/3} + 0.15 \cdot 0.0 \right] \cdot 300 \cdot 420$$

$$V_{Rd,c} = 149,43 \text{ kN/m}$$

$V_{Rd,c}$ mora biti veći od:

$$V_{Rd,c} \geq [v_{min} + k_1 \cdot \sigma_{cp}] \cdot b_w \cdot d$$

$$k = 0.15$$

$$v_{min} = 0.035 \cdot k^{3/2} \cdot f_{ck}^{1/2} = 0.035 \cdot 1.69^{3/2} \cdot 25^{1/2} = 0.384$$

$$\sigma_{cp} = \frac{N_{Ed}}{A_c} = 0.0$$

$$V_{Rd,c} \geq 0.384 \cdot 300 \cdot 420 = 48,3 \text{ kN/m}$$

Uvjet je zadovoljen.

$$V_{Ed,max} = V_{Ed} = 3,57 \text{ kN}$$

$$V_{Rd,max} = 0.5 \cdot v \cdot b_w \cdot d \cdot f_{cd}$$

$$v = 0.6 \left[1.0 - \frac{f_{ck}}{250} \right] = 0.6 \left[1.0 - \frac{25}{250} \right] = 0.54$$

$$V_{Rd,max} = 0.5 \cdot 0.54 \cdot 300 \cdot 420 \cdot 16.67 = 567,113 > V_{Ed,max} = V_{Ed}$$

$$\frac{V_{Ed,max}}{V_{Rd,max}} = \frac{3,57}{567,11} \approx 0.006 \rightarrow V_{Ed} = 0.006 V_{Rd,max}$$

$$s_{max} = \min\{0.75 \cdot d ; 30.0 \text{ cm}\} =$$

$$\min\{0.75 \cdot 42 = 31,5, 30.0\} \rightarrow s_{max} = 30.0 \text{ cm}$$

$$\rho_{min} = 0.0009$$

Potrebna računaska armatura!

$$A_{sw,min} = \frac{\rho_{min} \cdot s_w \cdot b_w}{m} = \frac{0.0009 \cdot 30.00 \cdot 30.00}{2} = 0.41 \text{ cm}^2$$

Odabrane minimalne spone: $\emptyset 10/30$ ($A_{sw} = 0.79 \text{ cm}^2$)

$$f_{ywd} = \frac{f_{yk}}{\gamma_s}; B 500B \rightarrow f_{ywd} = \frac{500}{1.15} = 434.8 \text{ MPa} = 43.48 \text{ kN/cm}^2$$

$$V_{Rd} = V_{Rd,s} = \frac{A_{sw}}{s} \cdot z \cdot f_{ywd} \cdot m \cdot ctg\theta$$

$$V_{Rd,s} = \frac{0.79}{30} \cdot (0.9 \cdot 42) \cdot 43.48 \cdot 2 = 89,55 \text{ kN}$$

$$V_{Ed} > V_{Rd}$$

Na mjestu maksimalne poprečne sile:

$$s_w \leq \frac{m \cdot A_{sw} \cdot f_{yw,d} \cdot z}{V_{Ed}} = \frac{2 \cdot 0.79 \cdot 43.48 \cdot (0.9 \cdot 42)}{3,57} = 671 \text{ cm}$$

Postaviti spone $\emptyset 10/15$ ($A_{sw} = 0.79 \text{ cm}^2$)

7.1.4. Kontrola progiba



Slika 7.3 Prikaz progiba grede

w_c – nadvišenje neopterećenog konstruktivnog elementa

w_1 – početni progib od stalnog opterećenja

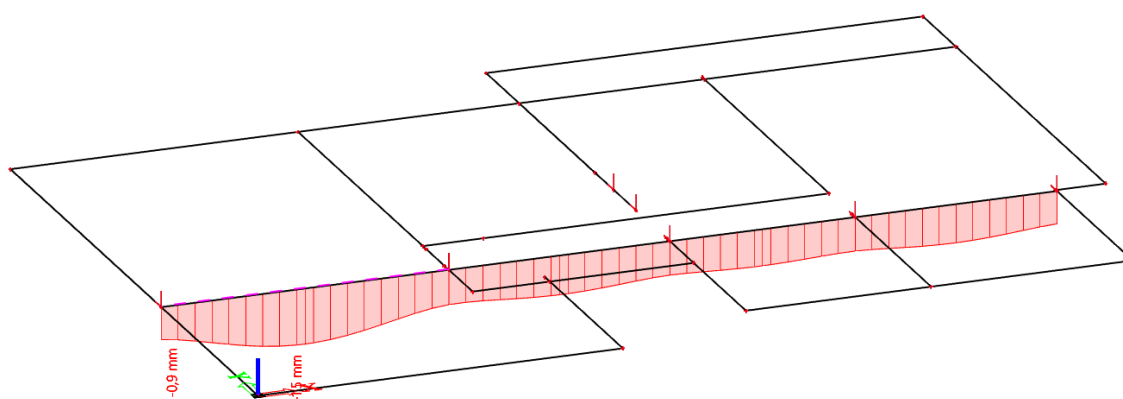
w_2 – dugotrajni progib od stalnog opterećenja

w_3 – progib od promjenjivog opterećenja

w_{max} – ukupni progib

Konstrukcija	w_{max}	$w_2 + w_3$
Krovišta	L/200	L/250
Prohodna krovišta	L/250	L/300
Stropovi	L/250	L/300
Stropovi/krovovi sa žbukom ili drugim krhkim završnim slojevima ili nesavjetljivim pregradama	L/300	L/350
Stropovi koje podupiru stupovi (osim ako je progib uzet u sklopu proračuna za granično stanje nosivosti)	L/400	L/500
Kada w_{max} može narušiti izgled zgrade	L/250	-

Tablica 7.1 Ograničenje vertikalnih progiba za karakterističnu kombinaciju



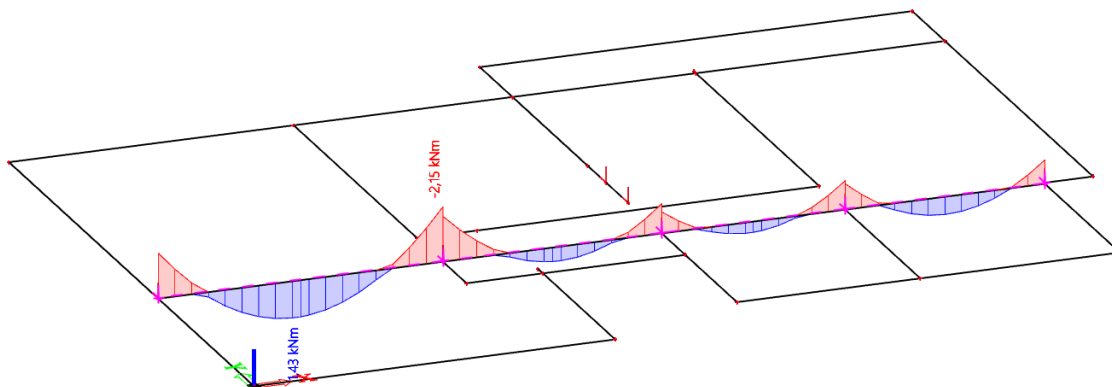
Slika 7.4 Progib grede (mm) za kombinaciju GSU-1

Najveći progib iznosa je 1,5 mm.

Dozvoljen progib $L/1000 = 5000/1000 = 5$ mm.

Međukatna greda zadovoljava na progibe.

7.1.5. Kontrola pukotina



Slika 7.5 Moment savijanja $M_{Ed,y}$ (kNm/m) za GSU

$$M_{\max} = 2,15 \text{ kNm}$$

Prognozna širina pukotine:

$$w_k = s_{r,\max} \cdot (\varepsilon_{sm} - \varepsilon_{cm})$$

Vrijednost $\varepsilon_{sm} - \varepsilon_{cm}$ određuje se prema izrazu :

$$\varepsilon_{sm} - \varepsilon_{cm} = \frac{\sigma_s - k_t \frac{f_{ct,eff}}{\rho_{p,eff}} (1 + \alpha_\varepsilon \cdot \rho_{p,eff})}{E_s} \geq 0,6 \cdot \frac{\sigma_s}{E_s}$$

$$x = \frac{\alpha_{\varepsilon 1} \cdot A_{s1}}{b} \cdot \left(-1 + \sqrt{1 + \frac{2 \cdot b \cdot d}{\alpha_{\varepsilon 1} \cdot A_{s1}}} \right) = \frac{6,45 \cdot 6,28}{30} \cdot \left(-1 + \sqrt{1 + \frac{2 \cdot 30 \cdot 42}{6,45 \cdot 6,28}} \right) = 9,30 \text{ cm}$$

$$\sigma_s = \frac{M_{Ed}}{z \cdot A_s} \approx \frac{M_{Ed}}{\left(d - \frac{x}{3}\right) \cdot A_s} = \frac{215}{\left(42 - \frac{6,85}{3}\right) \cdot 6,28} = 0,86 \frac{\text{kN}}{\text{cm}^2} = 8,61 \text{ MPa}$$

Za C 25/30 $\rightarrow f_{ct,eff} = 2,2 \text{ MPa}$

$A_{s1} = 8\emptyset 10$ ($A_s = 6,28 \text{ cm}^2$)

$E_{cm} = 31,0 \text{ GPa} = 31\,000 \text{ MPa}$ – modul elastičnosti betona

$E_s = 200,0 \text{ GPa} = 200\,000 \text{ MPa}$ – modul elastičnosti armature

$\alpha_e = \frac{E_s}{E_{cm}} = \frac{200}{31} = 6,45$ – Odnos modula elastičnosti

Djelotvorni koeficijent armiranja glavnom vlačnom armaturom:

$$\rho_{p,eff} = \frac{A_s}{A_{c,eff}} = \frac{6,28}{30 \cdot (2,5 \cdot 3)} = 0,03$$

$$\varepsilon_{sm} - \varepsilon_{cm} = \frac{8,61 - 0,4 \cdot \frac{2,2}{0,03} (1 + 3,14 \cdot 0,03)}{200000} \geq 0,6 \cdot \frac{8,61}{200000}$$

$$-0,0001 \geq 0,00003$$

$$\varepsilon_{sm} - \varepsilon_{cm} = 0,00003$$

Srednji razmak pukotina:

$$s_{r,max} = k_3 \cdot c + k_1 \cdot k_2 \cdot k_4 \cdot \frac{\emptyset}{\rho_{p,eff}} [mm]$$

$$\emptyset = 10,0 \text{ mm}$$

$$c = 20 \text{ mm} - \text{Zaštitni sloj uzdužne armature}$$

$$k_1 = 0,8 - \text{Rebrasta armatura}$$

$$k_2 = 0,5 - \text{Savijanje}$$

$$k_3 = 3,4$$

$$k_4 = 0,425$$

$$s_{r,max} = 3,4 \cdot 20 + 0,8 \cdot 0,5 \cdot 0,425 \cdot \frac{10}{0,03} = 125 \text{ mm}$$

Karakteristična širina pukotina:

$$w_k = s_{r,max} \cdot (\varepsilon_{sm} - \varepsilon_{cm}) = 125 \cdot 0,00003 = 0,004 \text{ mm} < w_g = 0,3 \text{ mm}$$

Pukotine zadovoljavaju!

8. PRORAČUN ZIDOVA

8.1. Opći uvjeti

- Minimalna debljina: $b_{wo} \geq \max \{0.15 \text{ m}, h_s/20\}$, (h_s =svijetla katna visina)
- Ograničenje naprezanja u betonu (srednjeg tlačnog naprezanja) je:

$$v_d = N_{Ed}/A_c f_{cd} \leq 0.40 \text{ (klasa DCM), odnosno } \sigma_{c,Rd} \leq 0.40 \cdot f_{cd}$$

N_{Ed} = uzdužna sila u proračunu potresne proračunske situacije

seizmička kombinacija za C25/30: $\sigma_{c,Rd,E} \leq 0.40 \cdot (25/1.5) = 6.7 \text{ MPa}$

- Kritično područje:

$\min \{2L_w, h_s\} \geq h_{cr} \geq \max \{L_w, h_w/6\}$, (L_w =duljina zida, h_w =ukupna visina zida, h_s =svijetla katna visina)

- Minimalno armiranje:

na krajevima zida:

vertikalno: $\rho_{min} = 0.5\%$ od površine $A_c = L_c \cdot b_w$ ($L_c = \max \{0.15 L_w, 1.5 b_w\}$)

spone: $\min \phi 6$; max. razmak: $\min \{8d_{bL}, b_o/2, 175 \text{ mm}\}$ (d_{bL} =promjer vert. šipki; b_o =širina jezgre)

ostali dio zida:

vertikalno: $\rho_{min} = 0.2\%$

horizontalno: $\rho_{min} = 0.2\%$

spone: $\min 4\phi 6/m^2$

- Lagano armirani zidovi $L_w \geq \min \{4 \text{ m}, 2/3 h_w\}$
- Najmanji omjer poprečne armature $\rho_{w,min}$ velikih slabo armiranih betonskih zidova:
 $\rho_{w,min} = 0.15 \cdot (f_{ct,m}/f_{yd})$.

$$\text{C 25/30 } (f_{ct,m}=2.6 \text{ MPa}); \text{ B 500B } (f_y=500 \text{ MPa}); \rho_{w,min} = 0.15 \cdot (2.6/435) = 0.0009$$

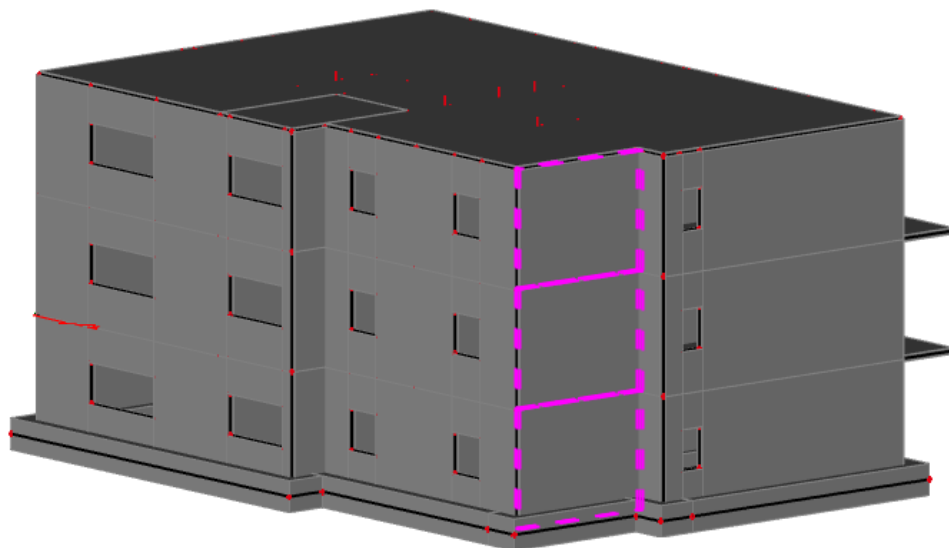
$$b_w=16 \text{ cm}; A_{s,min} = 0.0009 \cdot 16 \cdot 100/2 = 0.72 \text{ cm}^2/\text{m obostrano}$$

$$b_w=20 \text{ cm}; A_{s,min} = 0.0009 \cdot 20 \cdot 100/2 = 0.90 \text{ cm}^2/\text{m obostrano}$$

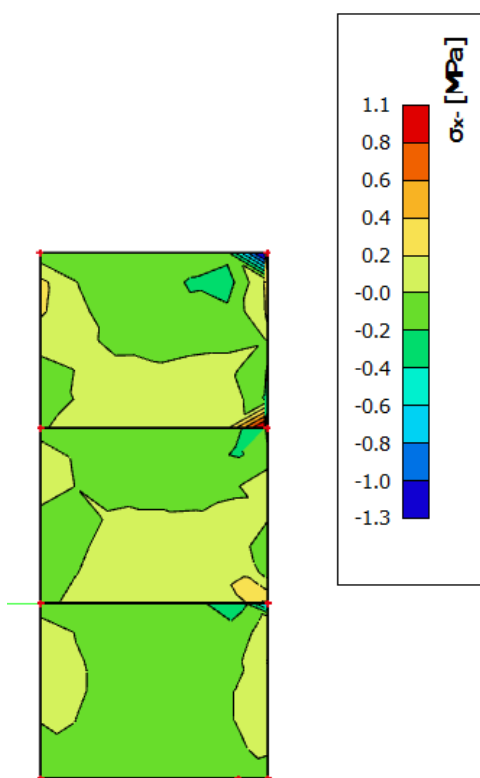
$$b_w=30 \text{ cm}; A_{s,min} = 0.0009 \cdot 30 \cdot 100/2 = 1.35 \text{ cm}^2/\text{m obostrano}$$

$$b_w=40 \text{ cm}; A_{s,min} = 0.0009 \cdot 40 \cdot 100/2 = 1.80 \text{ cm}^2/\text{m obostrano}$$

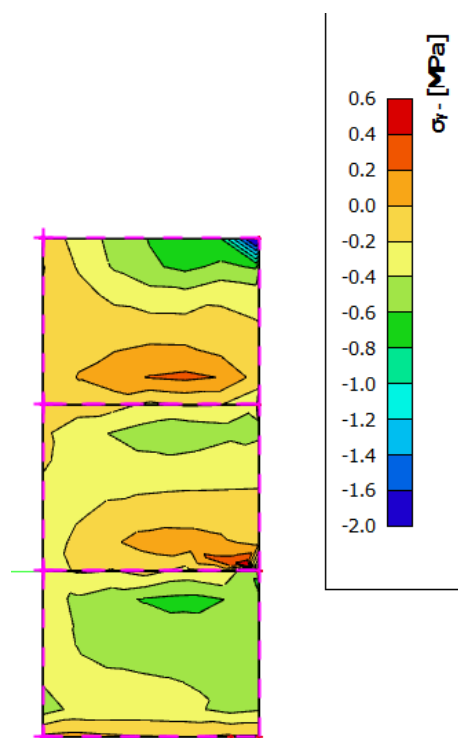
8.2. Prikaz modela i dijagrama



Slika 8.2.1 Položaj zida na kojem je izvršen proračun

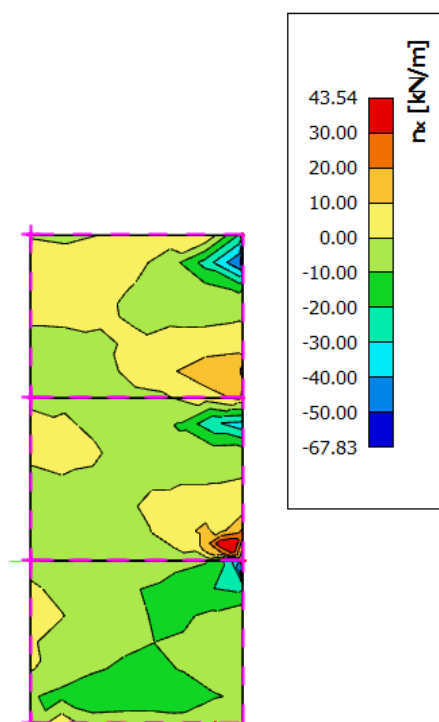


Slika 8.2.2 Tlačna naprezanja σ_x (Mpa) za nazovistalnu kombinaciju GSU

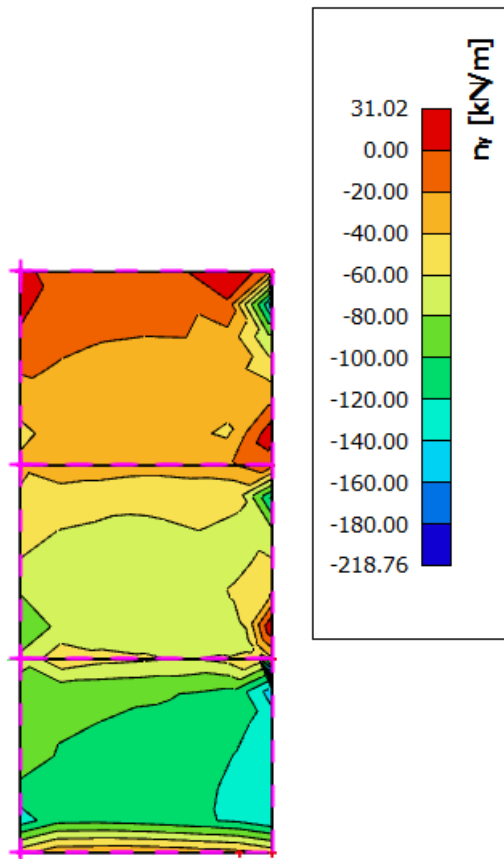


Slika 8.2.3 Tlačna naprezanja σ_y (Mpa) za nazovistalnu kombinaciju GSU

Tlačna naprezanja u zidu zadovoljavaju uvjet $\sigma < 0.45 f_{ck}$.



Slika 8.2.4 Uzdužne sile n_x [kN/m] u smjeru X, u zidovima za kombinaciju GSN



Slika 8.2.5 Uzdužne sile n_y [kN/m] u smjeru Y, u zidovima za kombinaciju GSN

Mjerodavna uzdužna sila $N_y = 218,76 \text{ kN/m}'$

$$A_{s1,2} = \frac{N_y}{f_{yd}} = \frac{218,76}{43,5} = 5,03 \text{ cm}^2$$

$$A_{s1} = \frac{5,03}{2} = 2,52 \text{ cm}^2$$

Odabrana armatura: Q-283 obostrano. U rubovima zidova postaviti vertikalne serklaže (EUROKOD) armirane s 4 $\Phi 14$ i u-vilicama $\Phi 8/15 \text{ cm}$.

9. PRORAČUN STUPOVA

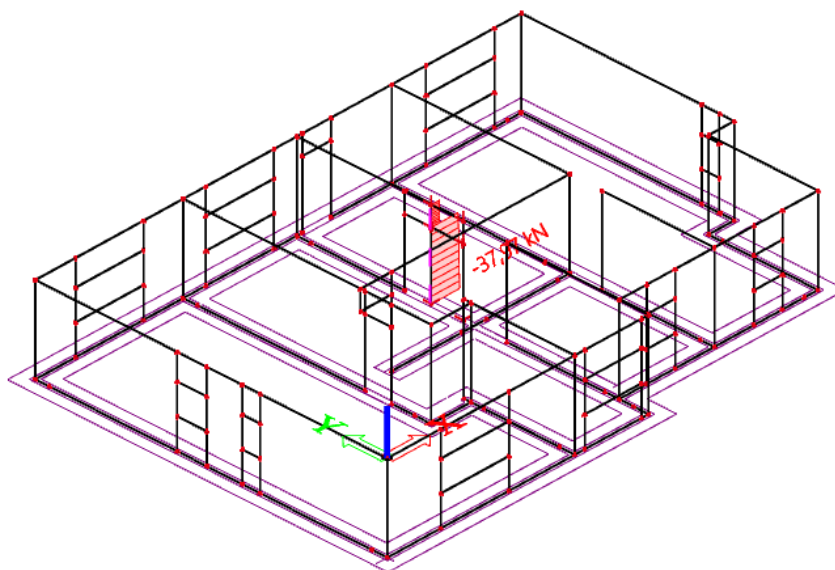
Ograničenja naprezanja u betonu

Ograničenje srednjeg tlačnog naprezanja:

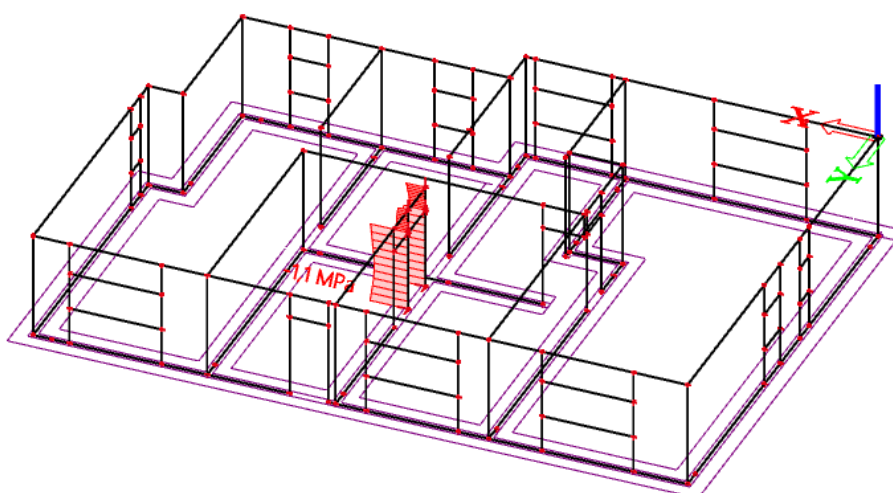
$\sigma_c \leq 0.45 f_{ck}$ za nazovistalnu kombinaciju GSU

GSU-1 = $1.0G + \Psi_2Q = 1.0G + 0.5Q$ za C25/30,

$\sigma_c \leq 0.45 \cdot 25 = 11.25 \text{ MPa}$



Slika 9.1 Uzdužne sile u stupu N_{ed} (kN) za GSU



Slika 9.2 Srednje tlačno naprezanje u stupovima $\sigma_{c,Ed}$ (MPa) za GSU

Beton: C25/30; $f_{ck}=25\text{MPa}$

Kontrolira se srednje tlačno naprezanje u stupu za nazovistalnu

kombinaciju: $\text{GSU-1} = 1.0\text{G} + \Psi_{2i} * \text{Qi} = 1.0\text{G} + 0.5\text{Q}$

$$\sigma_{c,ed} \leq 0.45 f_{ck}$$

$$\text{za C 25/30: } 0.45 f_{ck} = 0.45 * 25 = 11.25 \text{ MPa}$$

U stupu (dimenzije prema planu pozicija) nije prekoračeno srednje tlačno naprezanje.

Stup spada u razred duktilnosti M, stoga treba biti zadovoljen uvjet:

$$N_{sd} = 37,97 \text{ kN}$$

$$b \times h \geq N_{sd} / 0.65 \times f_{cd} \rightarrow 400 \geq 35,05 = A_{c,potr}$$

Poprečni presjek stupa: $b/h = 20 \times 20 \text{ cm}$

Minimalna vertikalna armatura stupa:

- $A_{s,min} = 8\Phi 12 (9.05 \text{ cm}^2)$
- $A_{s,min} = 0.15 \times N_{sd} / f_{yd} = 0.15 \times 37,97 / 43.48 = 1.07 \text{ cm}^2$
- $A_{s,min} = 0.003 \times A_c = 1.2 \text{ cm}^2$
- $A_{s,min} = 0.01 \times A_c = 4 \text{ cm}^2$

Odabrana vertikalna armatura: $8\Phi 12 (9.05 \text{ cm}^2)$

Minimalna poprečna armatura stupa:

- $e_w = 12 \Phi_{s,min} = 26.4 \text{ cm}$
- $e_w \leq b = 20 \text{ cm}$
- $e_w \leq 30 \text{ cm}$
- $e_w \leq 15 \text{ cm}$ (potres – za duktilnost M)

Odabrana poprečna armatura: spone $\Phi 8/15 \text{ cm}$.

Napomena: Na područjima neposredno u blizini ležaja u dužini od 50 cm te na preklopima armature progustiti razmak na 9 cm.

10. PRORAČUN TEMELJA

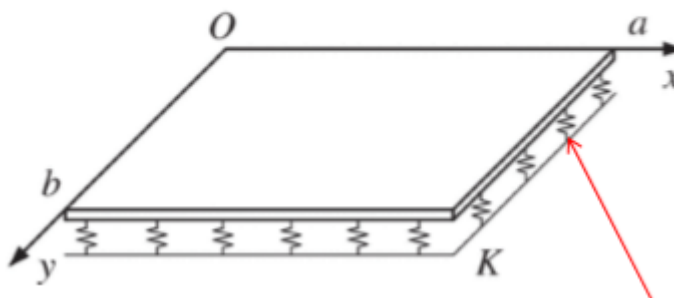
Kao što je navedeno u prethodnim poglavljima, građevina je temeljena s modelom trakastih temelja.

Osnovni problem modeliranja savitljivih konstrukcija je modeliranje međudjelovanja konstrukcija – tlo.

Rješenje savitljivih temeljnih konstrukcija analitičkom (zatvorenom) obliku u većini složenijih problema se rješava nekom od numeričkih metoda.

U rješavanju problema tlo se modelira na dva osnovna pristupa :

- Analiza u neprekidnoj sredini – proračun se vrši nekom od numeričkih metoda u kojoj se tlo modelira kao poluprostor. Potrebni podatci o tlu E i ν za linearno elastičan model.
- Međudjelovanje konstrukcija – tlo se modelira Winklerovim modelom (opruge). Koristi se linearan model s konstantnom krutošću ili model s promjenjivom krutošću. Ovaj pristup je približan jer se zanemaruje međusobni utjecaj pomaka različitih točaka u tlu.



Slika 10.1 Međudjelovanje konstrukcija – tlo modelirano Winkler- ovim modelom

U rješavanju problema koristio se Winklerovom model temeljenja.

Winklerov prostor samo približno opisuje deformacijske osobine temeljnog tla. Stišljivo tlo zamjenjujemo sustavom elastičnih pera, tako da je pomak točke na površini Winklerovog prostora linearno proporcionalnom reaktivnom pritisku:

$$W(x) = \frac{q(x)}{K}$$

K – koeficijent reakcije tla ($\text{kN/m}^2/\text{m}'$)

Koeficijent reakcije (odgovora) podloge – Winklerov koeficijent

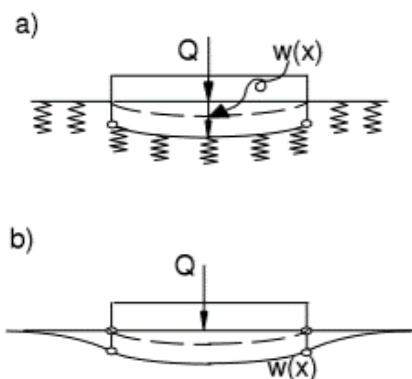
Koeficijent reakcije podloge K je odnos između dodirnog naprezanja q kojim tlo odgovara na vanjsko opterećenje i slijeganja w , koje to isto naprezanje izazove u tlu.

$$K = \frac{q}{w} \left[\frac{\text{kN}}{\text{m}^3} \right]$$

Vrijednost koeficijenta K ovisi o elastičnim svojstvima podloge i o veličini opterećene površine.

$$EI \cdot \frac{d^4 w}{dx^4} + K \cdot w(x) = p(x) + g$$

Uz korištenje rubnih uvjeta ovu diferencijalnu jednadžbu je moguće riješiti u zatvorenom obliku.



Slika 10.2 Winklerov model (a) i stvarni nosač (b)

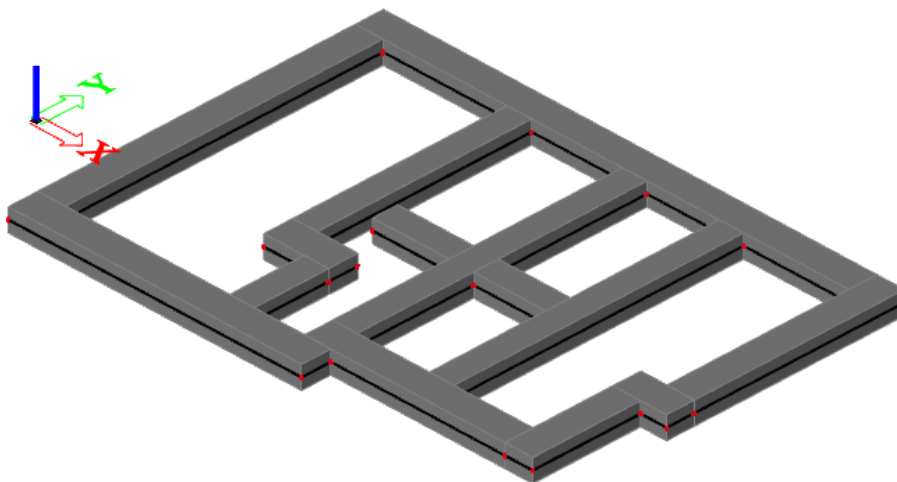
Nedostatci ovog modela :

- Opterećenje skraćuje samo ona pera na kojima grede izravno leži (zanemaruje se međusobni utjecaj)
- Na tlo se može prenijeti kao pritisak tako i zatezanje
- Određivanje koeficijenta reakcije tla (K) koji ovisi o intenzitetu opterećenja, obliku i veličini opterećene plohe , krutosti grede, svojstvima materijala grede, svojstvima temeljnog tla ispod grede

10.1. Proračun trakastih temelja

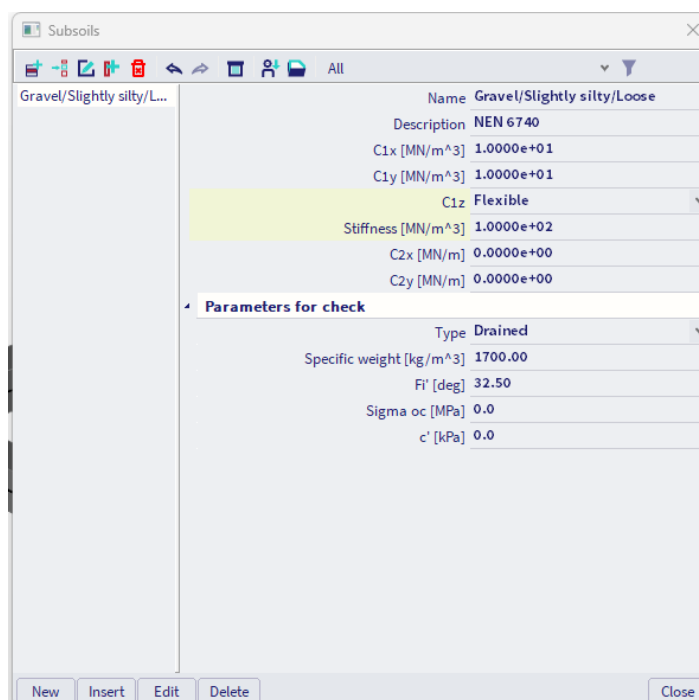
10.1.1. Model trakastih temelja

Temelji su modelirani kao gredni elementi, na kojima su postavljeni linijski ležajevi.



Slika 10.3 Model trakastih temelja

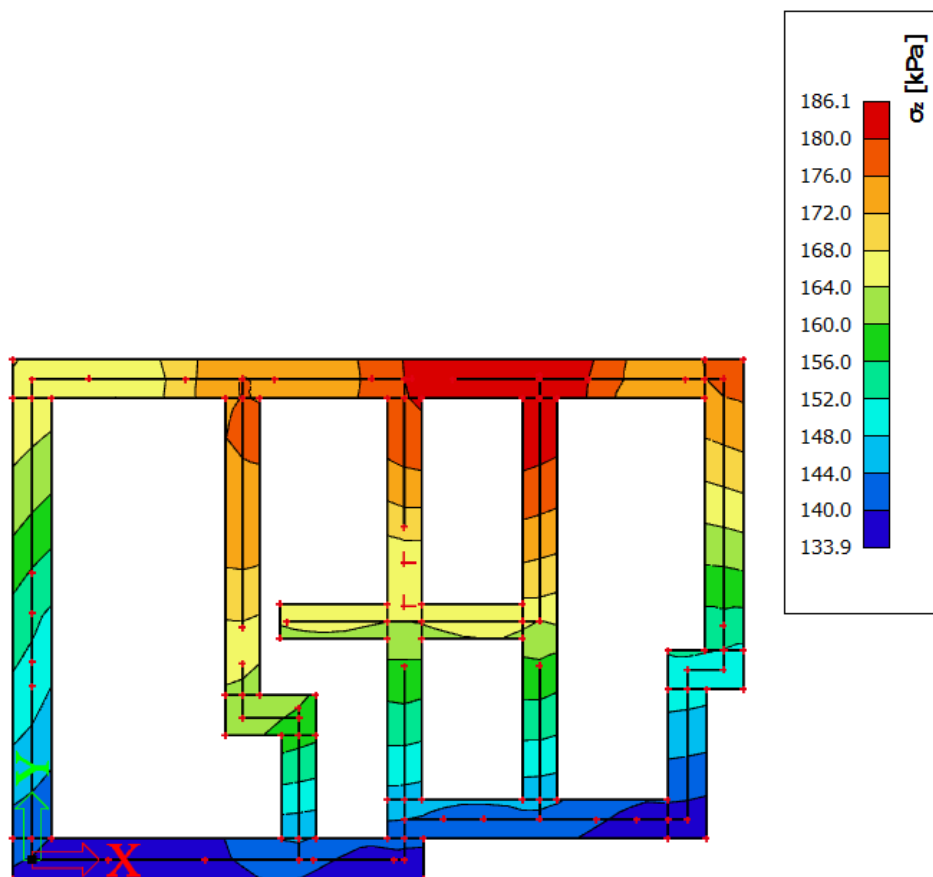
Kako bismo u model unijeli realnu stišljivost tla, linijske ležajeve ćemo modelirati kao fleksibilne kojima ćemo pomak u smjeru z zadati pomoću krutosti tla. Ostali pomaci i zaokreti su spriječeni.



Slika 10.4 Model fleksibilnih linijskih ležajeva

10.1.2. Proračun širine temeljne stope

Širine temeljnih stopa odabrali smo na način da nam zadovolje naprezanja koja nam tlo može prenijeti. Nosivost tla dobili smo iz geomehaničkog elaborata. Na osnovu geotehničkih istražnih radova dobiveni su rezultati za osnovna opterećenja od 320 kPa.



Slika 10.5 Linijske reakcije na mjestima oslanjanja zidova na temeljne trake (Kn/m) za kombinaciju GSN

Cilj proračuna je dobiti približno jednak omjer računске nosivosti i nosivosti tla - u granicama od 60% do 70% iskoristivosti tla, tako da slijeganje temelja bude što ujednačenije.

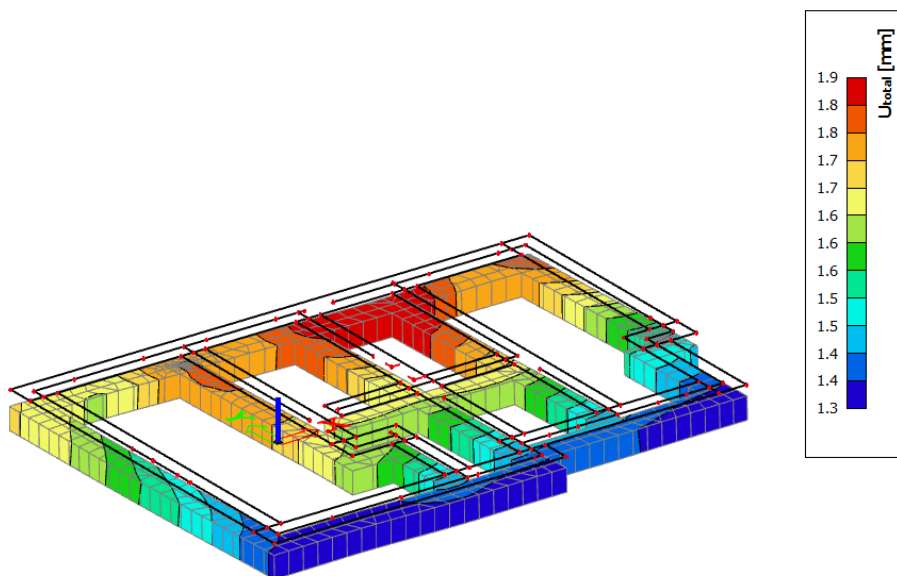
Reakcije su dobivene iz programa „Scia Engineer“.

Vrijednost dopuštenog kontaktnog napreznja je 320 kN/m².

$$\sigma_{Ed} = F / b \text{ [kN]}$$

10.1.3. Slijeganje građevine

Iz tablice je vidljivo da su napreznja ispod temeljnih traka približno jednaka odnosno postignuto je ravnomjerno napreznje na kontaktu temelja i nosivog tla. Ravnomjernim napreznjem dobiva se ravnomjerno slijeganje temeljnog tla, na taj način izbjegava se pojava diferencijalnog slijeganja.



Slika 10.6 Slijeganje trakastih temelja za kombinaciju GSN

Na slici vidimo da se građevina ravnomjerno slegnula odnosno izbjegli smo pojavu diferencijalnog slijeganja.

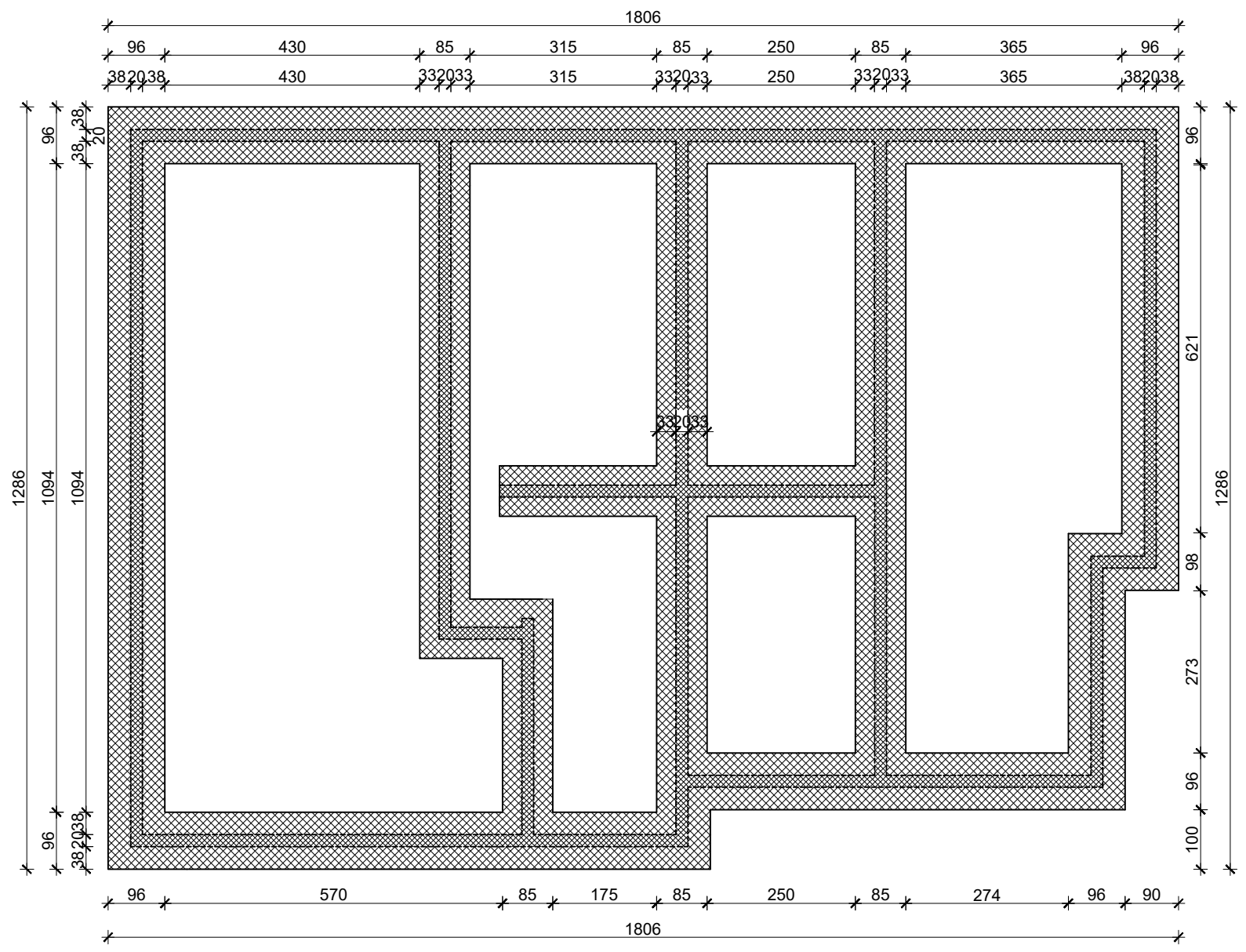
11. GRAFIČKI PRILOZI


Redom su priloženi:

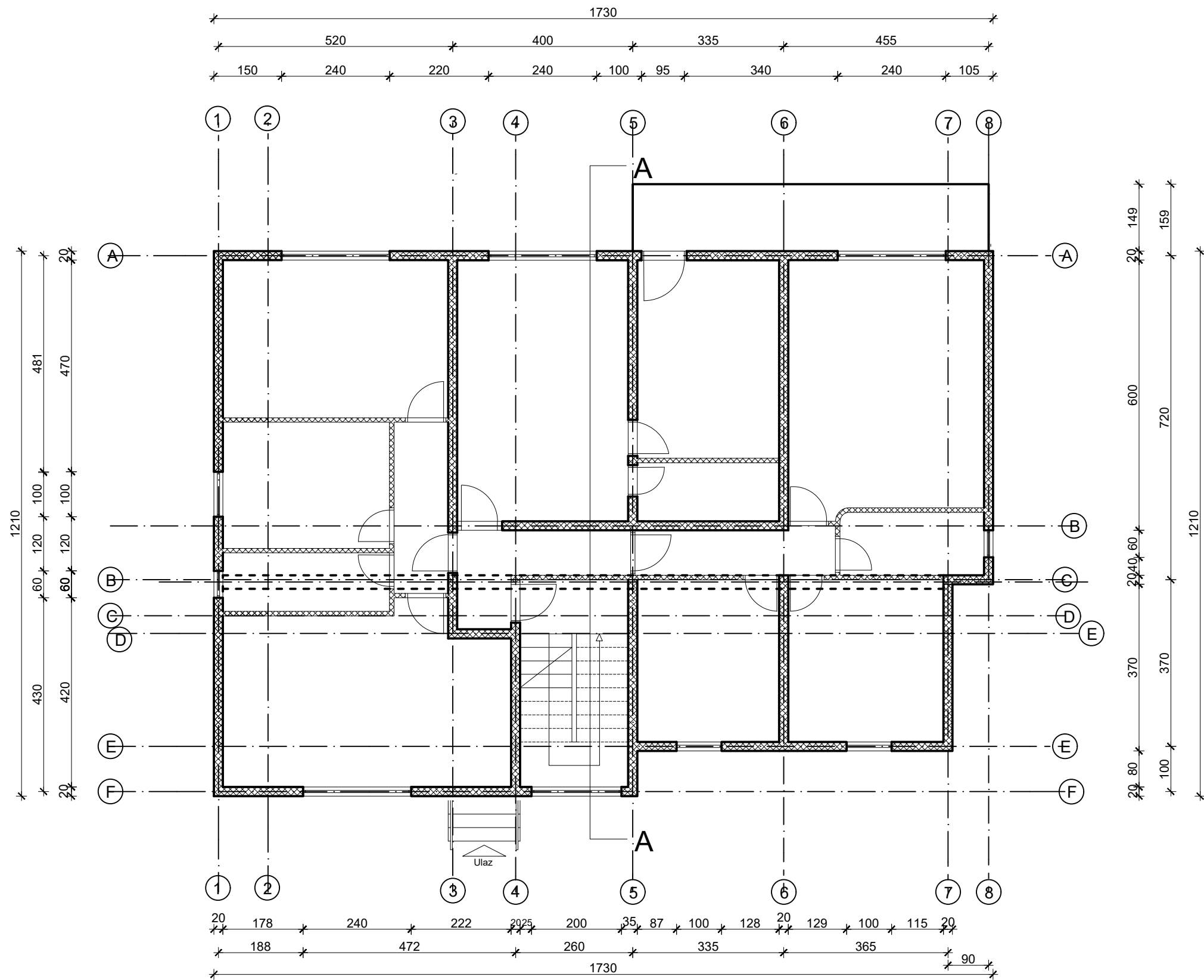
- Tlocrt temelja M 1:100
- Tlocrt karakteristične etaže M 1:100
- Presjek 1-1 M 1:100


12.LITERATURA

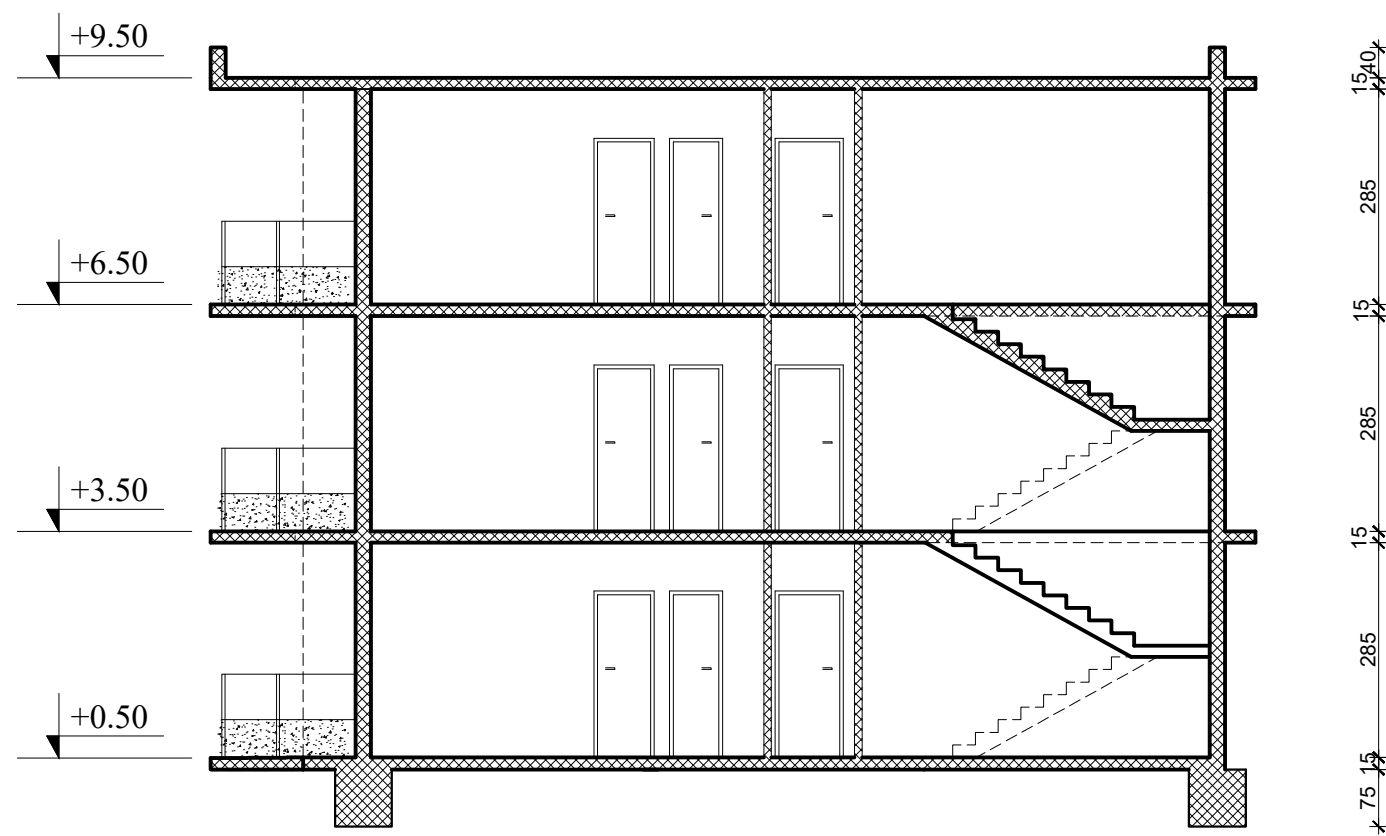
- Ante Mihanović, Boris Trogrlić, **Građevna statika I**, Sveučilište u Splitu, Fakultet građevinarstva, arhitekture i geodezije, Split 2011.
- Ante Mihanović, Boris Trogrlić, **Građevna statika II**, Sveučilište u Splitu, Fakultet građevinarstva, arhitekture i geodezije, Split 2011.
- Ivan Tomičić, **Betonske konstrukcije**, Društvo hrvatskih građevinskih konstruktora, Zagreb 1996.
- Jure Radnić, Alen Harapin, **Osnove betonskih konstrukcija**, interna skripta, Sveučilište u Splitu, Fakultet građevinarstva, arhitekture i geodezije, Split 2015.



 <p>SVEUČILIŠTE U SPLITU GRAĐEVINSKO - ARHITEKTONSKI FAKULTET 21000 SPLIT, MATICE HRVATSKE 15</p>	Završni rad	
	TEMA Projektiranje i dimenzioniranje nosivih konstrukcija	
	STUDENTI Jure Runjić	
	SADRŽAJ Tlocrt temelja	MJERILO 1:100
DATUM rujan 2024.	BROJ PRILOGA 1	



 <p>SVEUČILIŠTE U SPLITU GRAĐEVINSKO - ARHITEKTONSKI FAKULTET 21000 SPLIT, MATICE HRVATSKE 15</p>	Završni rad	
	TEMA Projektiranje i dimenzioniranje nosivih konstrukcija	
	STUDENTI Jure Runjić	
	SADRŽAJ Tlocrt karakterističnog kata	MJERILO 1:100
DATUM rujan 2024.	BROJ PRILOGA 2	



SVEUČILIŠTE U SPLITU
 GRADEVINSKO - ARHITEKTONSKI FAKULTET
 21000 SPLIT, MATICE HRVATSKE 15

Završni rad		
TEMA Projektiranje i dimenzioniranje nosivih konstrukcija		
STUDENTI Jure Runjić		
SADRŽAJ	Presjek 1-1	MJERILO 1:100
DATUM	rujan 2024.	BROJ PRILOGA 3